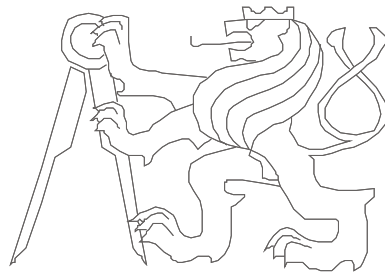


Architektura počítačů

Počítačová aritmetika a úvod

Pavel Píša, Michal Štepanovský, Miroslav Šnorek



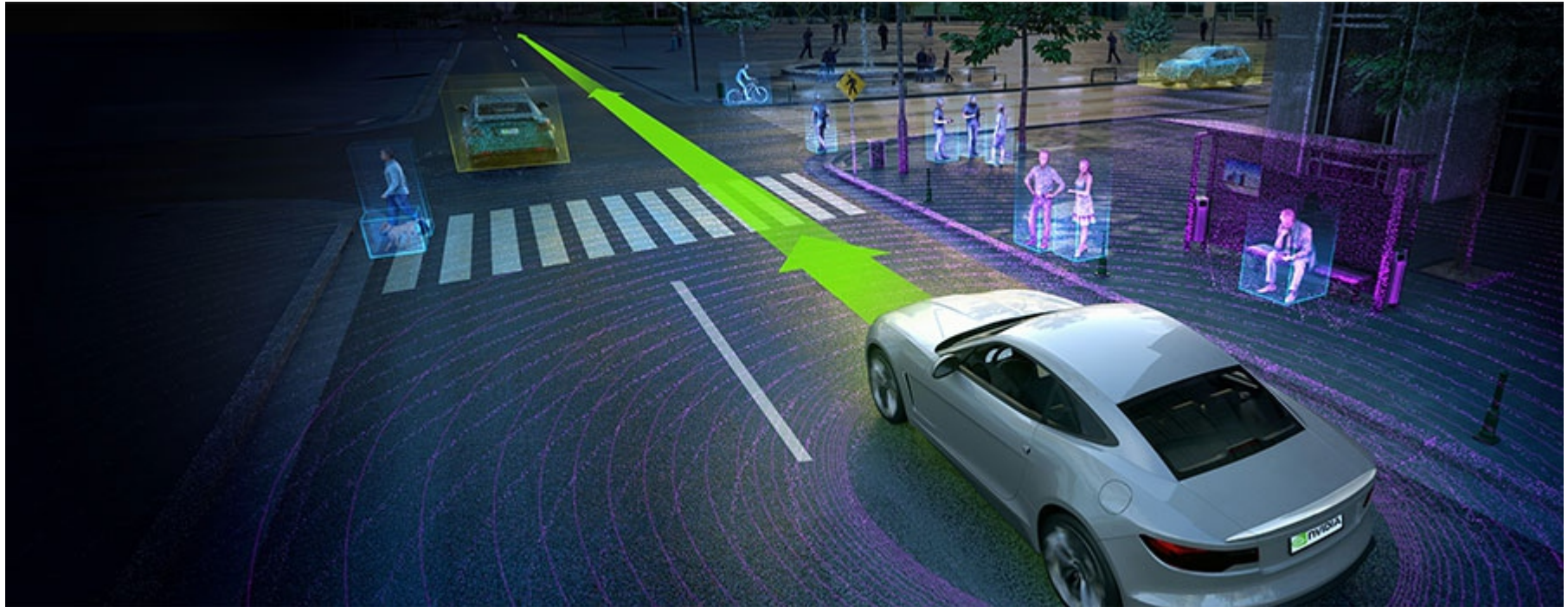
České vysoké učení technické, Fakulta elektrotechnická

Základní cíl předmětu

- Cíl je porozumět struktuře počítače, abyste mohli lépe využít jeho možností k dosažení jeho vyššího výkonu.
- Dále je probíraná návaznostech/propojení HW/SW (periferie)
- Vychází ze světově uznávané knihy autorů
- Paterson, D., Henessy, V.: Computer Organization and Design, The HW/SW Interface. Elsevier, ISBN: 978-0-12-370606-5
- Stránky předmětu:
<https://cw.fel.cvut.cz/wiki/courses/b35apo/start>
- Cílem tohoto předmětu není naučit vás počítač navrhnout (viz B4M35PAP – Pokročilé architektury počítačů a B4M38AVS – Aplikace vestavných systémů)

Motivační příklad: (neformální uvedení do probíraných témat)

Autonomní řízení automobilů



Zdroj: <http://www.nvidia.com/object/autonomous-cars.html>

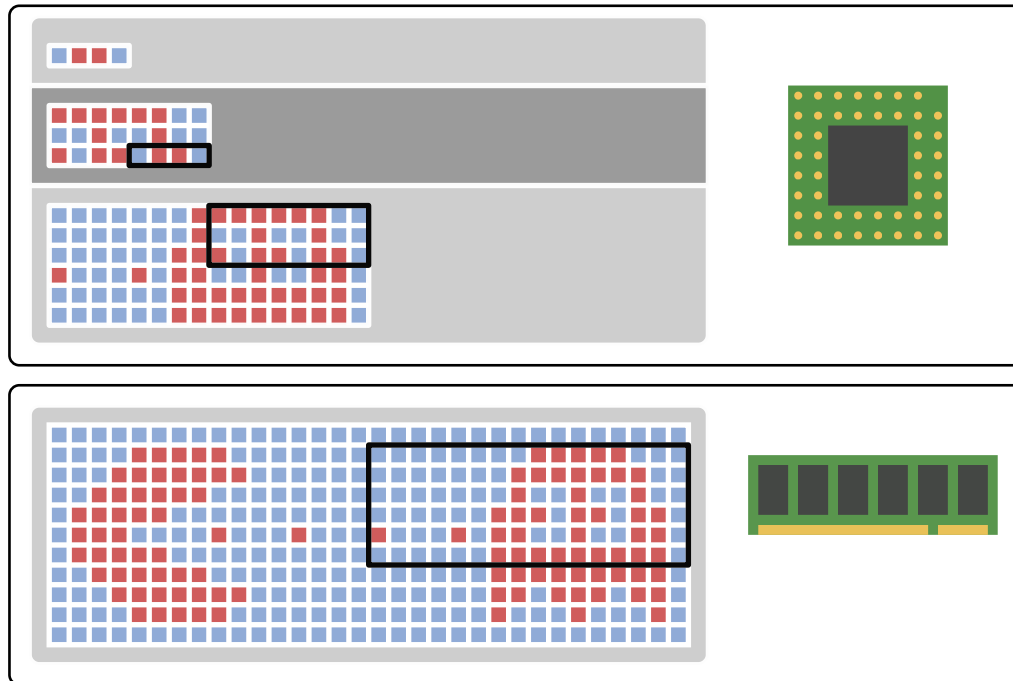
- Mnoho úloh z oblasti umělé inteligence založeno na hlubokých neuronových sítích (deep neural networks)
- Průchod neuronové sítě – maticové násobení

Průchod neuronové sítě – maticové násobení

- Výsledky jednoho z mnoha experimentů
 - Naivní algoritmus (3 × for) – 3.6 s = 0.28 FPS
 - Optimalizace přístupů k paměti – 195 ms = 5.13 FPS (bezpodmínečně nutná znalost HW)
 - Čtyři jádra – 114 ms = 8.77 FPS (nutnost výběru minimální nutné synchronizace)
 - GPU (256 procesorů) — 25 ms = 40 FPS (znalost předávání dat mezi hlavním CPU a koprocory)
- Naivním algoritmus, mat. knihovnou Eigen (1 jádro a 4 jádra (2 fyzické) na i7-2520M, kompilace s -O3), GPU na základě měření Joela Matějky ze skupiny <http://industrialinformatics.cz/> kde se v rámci evropských projektů vývojem operačních systémů a budoucích SW platforem pro autonomní řízení zabýváme
- Jak docílit zrychlení?

Optimalizace přístupů k paměti

- Úprava algoritmu s ohledem na paměťovou hierarchii
- Data z (vyrovnávací) paměti blízko procesoru lze získat rychleji (rychlé paměti mají ale malou velikost)



Predikce skoků / přístupů k paměti

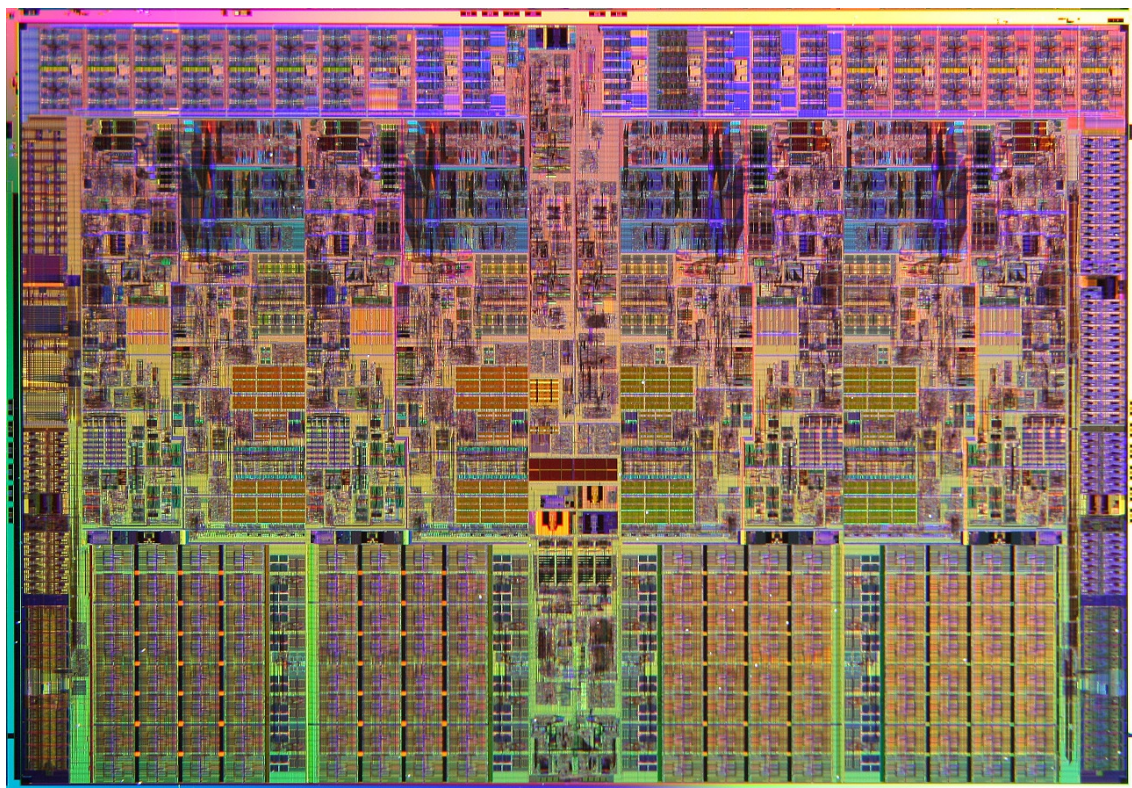
- Kvůli zvýšení průměrného výkonu je vykonávání instrukcí rozděleno na několik fází => nutnost načítat několik instrukcí / dat dopředu
- Každý podmínka (if, loop) znamená možný skok – špatná predikce je drahá
- Je dobré mít představu jak predikce fungují a jaké alternativy na daném CPU/HW ke skokům existují. (Např. vektorové/multimediální inst.)



Zdroj: https://commons.wikimedia.org/wiki/File:Plektita_trakforke_14.jpeg

Paralelizace – vícejádrový procesor

- Požadavky na synchronizaci
- Vzájemné propojení a možnosti komunikace mezi procesory
- Přesuny mezi úrovněmi paměti jsou velmi drahé
- Nevhodné sdílení mezi jádry vede k pomalejšímu kódu než na jednom CPU



Intel Nehalem Processor, Original Core i7

Zdroj: http://download.intel.com/pressroom/kits/corei7/images/Nehalem_Die_Shot_3.jpg

Výpočetní koprocesory – GPU

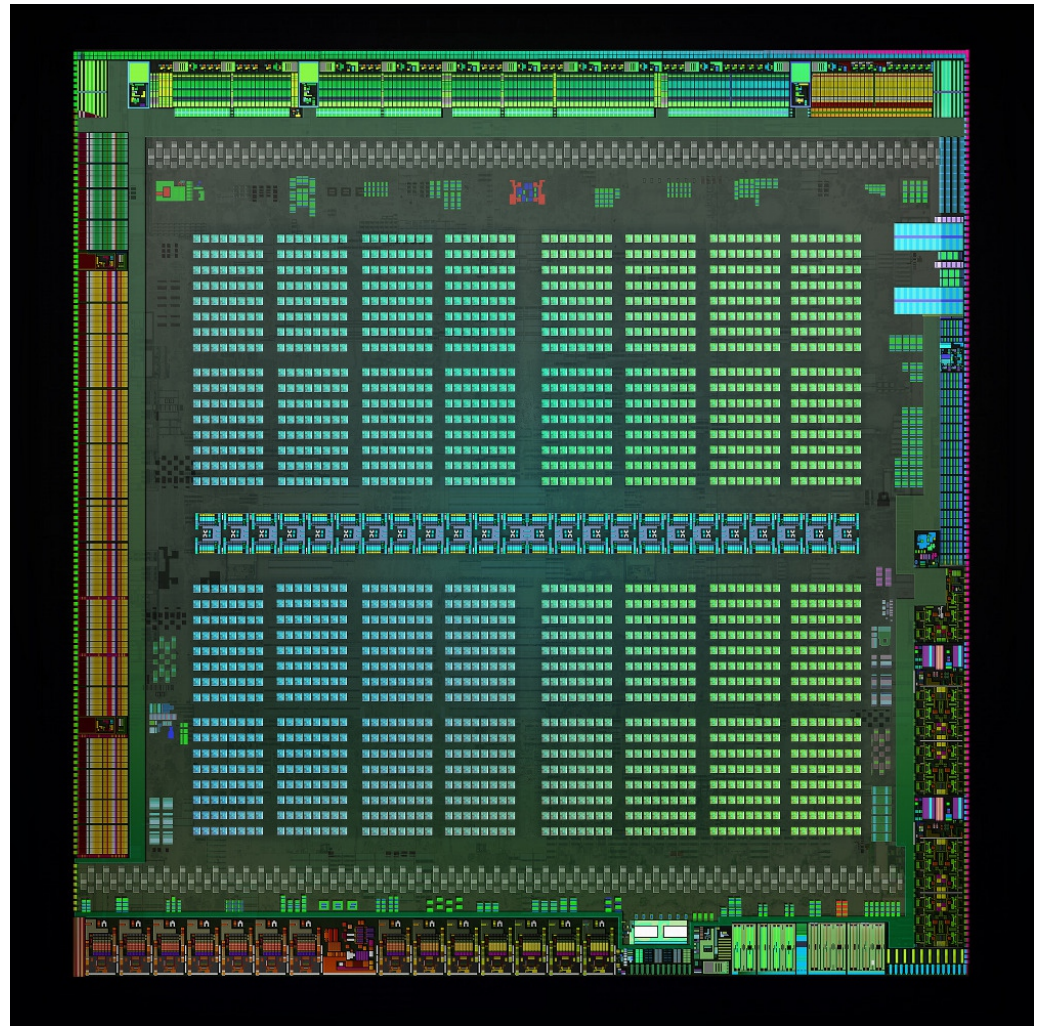
- Procesor s mnoha jednoduchými jádry (stovky)
- Některé jednotky sdílené
- Pro efektivní využití nutno znát základní hardwarové vlastnosti



Zdroj: <https://devblogs.nvidia.com/paralleforall/inside-pascal/>

GPU – Maxwell

- GM204
- 5200 miliónů tranzistorů
- 398 mm²
- PCIe 3.0 x16
- 2048 výpočetních jednotek
- 4096 MB
- 1126 MHz
- 7010 MT/s
- 72.1 GP/s
- 144 GT/s
- 224 GB/s



Zdroj: <http://www.anandtech.com/show/8526/nvidia-geforce-gtx-980-review/3>

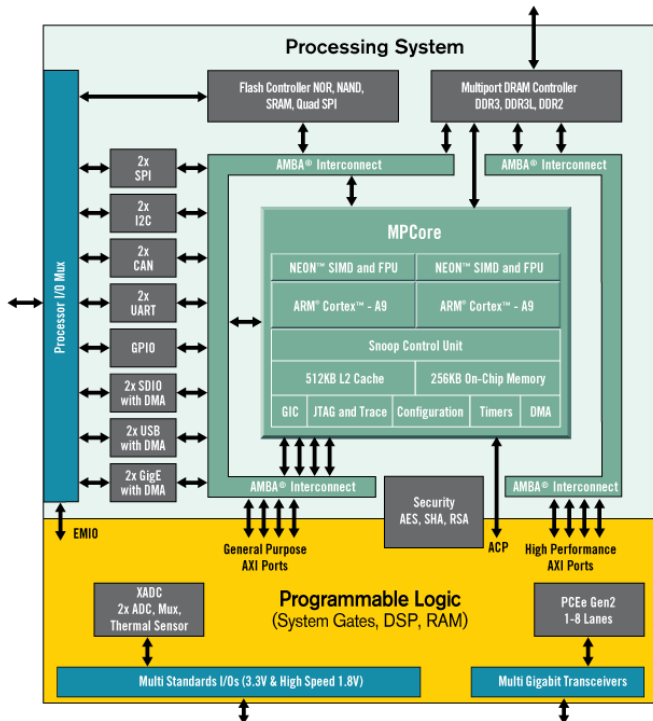
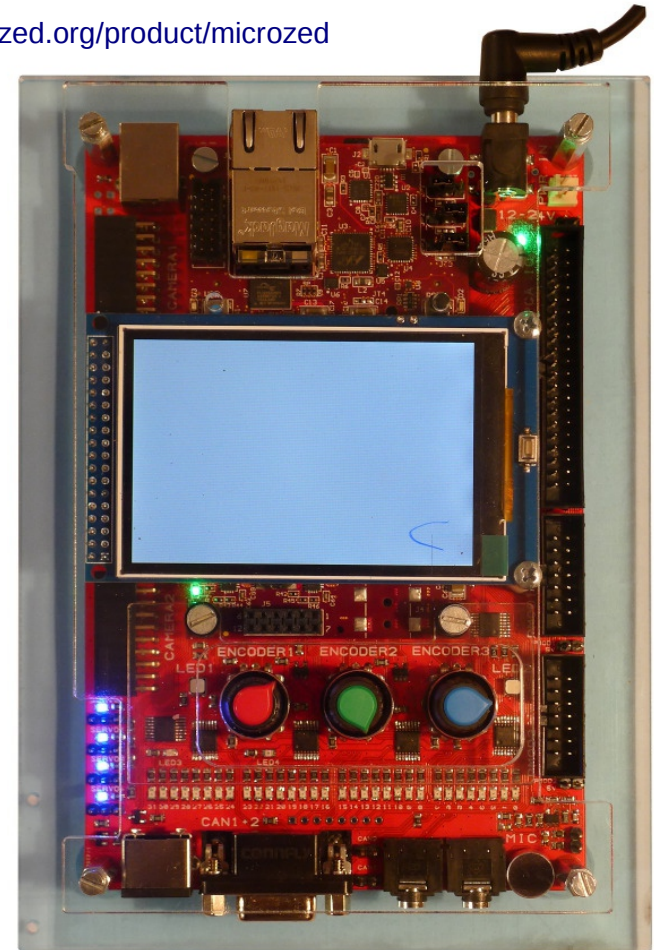
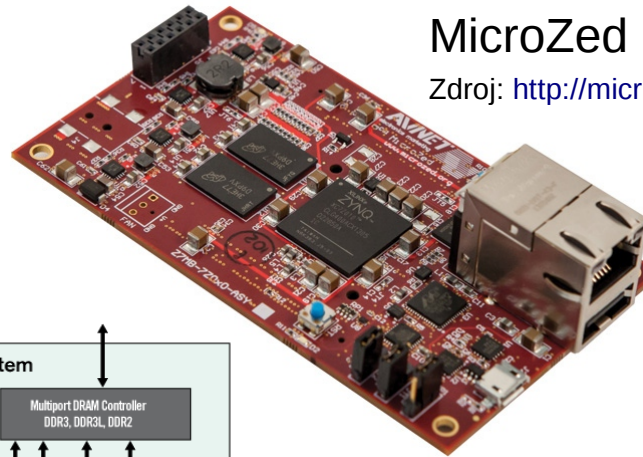
FPGA – návrh/prototyp vlastního hardware

- Programovatelné hradlové pole
- Umožňuje efektivní naprogramování specifických funkcí (filtry – obrazové nebo zvukové, FFT analýzu, vlastní procesor...)
- Připravené bloky na čipu jsou pospojovány programátorem
- Zynq 7000 FPGA – několik ARM jader propojených s FPGA – rychlý a snadný přístup k FPGA/periferiím z programu
- (setkáte se na cvičeních, ale v rámci APO nebudete programovat FPGA, hardware bude již připravený)

Xilinx Zynq 7000 a MicroZed APO

MicroZed

Zdroj: <http://microzed.org/product/microzed>



Zdroj: <https://www.xilinx.com/products/silicon-devices/soc/zynq-7000.html>

Zdroj: <https://cw.fel.cvut.cz/wiki/courses/b35apo/start>

MZ_APO – parametry

- Základní čip: Zynq-7000 All Programmable SoC
- Typ: Z-7010, součástka XC7Z010
- CPU: Dual ARM® Cortex™-A9 MPCore™ @ 866 MHz (NEON™ & Single / Double Precision Floating Point)
2x L1 32+32 kB, L2 512 KB
- FPGA: 28K Logic Cells (~430K ASIC logic gates, 35 kbit)
- Výpočetní jednotky v FPGA: 100 GMACs
- Paměti v FPGA: 240 KB
- Paměť na desce MicroZed: 1GB
- Operační systém: GNU/Linux
 - GNU LIBC (libc6) 2.19-18+deb8u7
 - Jádru Linux 4.9.9-rt6-00002-ge6c7d1c
 - Distribuce: Debian Jessie

MZ_APO – Logický návrh v SW Xilinx Vivado


The screenshot displays the Xilinx Vivado IDE interface for a logic design project named MZ_APO. The main window shows a hierarchical block design of a ZYNQ7 Processing System. Key components visible include:

- axi_mem_intercon**: AXI Interconnect block.
- display_16bit_cmd_data_bus_0**: Display controller block.
- canbench_cc_gpio_0**: GPIO controller block.
- processing_system7_0**: The central ZYNQ7 Processing System.

The Tcl Console at the bottom shows the following commands and their outputs:

```
Adding cell -- xilinx.com:ip:axi_protocol_converter:2.1 - auto_pc
Adding cell -- xilinx.com:ip:axi_protocol_converter:2.1 - auto_pc
Adding cell -- xilinx.com:ip:axi_protocol_converter:2.1 - auto_pc
Adding cell -- xilinx.com:ip:axi_protocol_converter:2.1 - auto_pc
Successfully read diagram <top> From BD file </home/pi/fpga/zyng/canbench-sw/system/src/top/top.bd>
open_bd_design: Time (s): cpu = 00:00:24 ; elapsed = 00:00:19 . Memory (MB): peak = 6008.051 ; gain = 153.621 ; free physical = 80 ; free virtual = 7868
set_property location {-22 483} [get_bd_ports CAN2_RXD]
set_property location {-26 1138} [get_bd_ports ENCDATA]
write_bd_layout -format pdf -orientation portrait /home/pi/mz_apo-v10-top.pdf
/home/pi/mz_apo-v10-top.pdf
```


Linux – od trpaslíků po superpočítače

- TOP500 <https://www.top500.org/> (<https://en.wikipedia.org/wiki/TOP500>)
 - Současný první: Sunway TaihuLight, Sunway MPP, SW26010 Sunway, NRCPC (Čína)
 - Příklad parametrů: IBM Roadrunner, Los Alamos National Laboratory
 - Majitel: National Nuclear Security Administration, USA
 - LINPACK/BLAS (Basic Linear Algebra Subprograms) systém
 - Architectura: 12,960 IBM PowerXCell 8i CPUs,
 - 6,480 AMD Opteron dual-core processors, Infiniband, Linux
 - Systém: Red Hat Enterprise Linux a Fedora
 - Napájení: 2.35 MW
 - Velikost: 296 stojanů
 - 560 m²
 - Paměť: 103.6 TiB
 - Výkon 1.042 petaflops
 - Cena: USD \$125M
- 
- SGI SSI (single system image) Linux, 2048 Itanium CPU a 4TiB RAM

Linux kernel a open-source

- Projekt jádra Linux
 - od roku 2005 přispělo 13,500 vývojářů
 - přidáno 10,000 řádek kódu deně
 - 8,000 zrušeno a 1,500 až 1,800 změněno
 - Správa kódu verzovací systém GIT
- Úspěšných projektů s otevřeným zdrojovým kódem je mnoho
- Zapojit se může každý
- Google Summer of Code pro studenty univerzit
 - <https://developers.google.com/open-source/gsoc/>

Zdroj: https://www.theregister.co.uk/2017/02/15/think_different_shut_up_and_work_harder_says_linus_torvalds/

Zpět k motivačnímu příkladu autonomního řízení

- Výsledek dobré znalosti hardware
 - Zrychlení (v našem případě 18× při využití stejného počtu jader)
 - Snížení potřebného výkonu
 - Úspora energie
 - Možnost zmenšení aktuálních řešení



Aplikovatelnost znalostí a postupů probíraných v předmětu

- Aplikace nejen v autonomním řízení
- V jakémkoli embedded zařízení – snížení velikosti, spotřeby, spolehlivosti
- V datových vědách – značné zkrácení doby běhu a úspora energie při výpočtech
- V uživatelském rozhraní – zlepšení odezvy aplikace
- Prakticky všude...

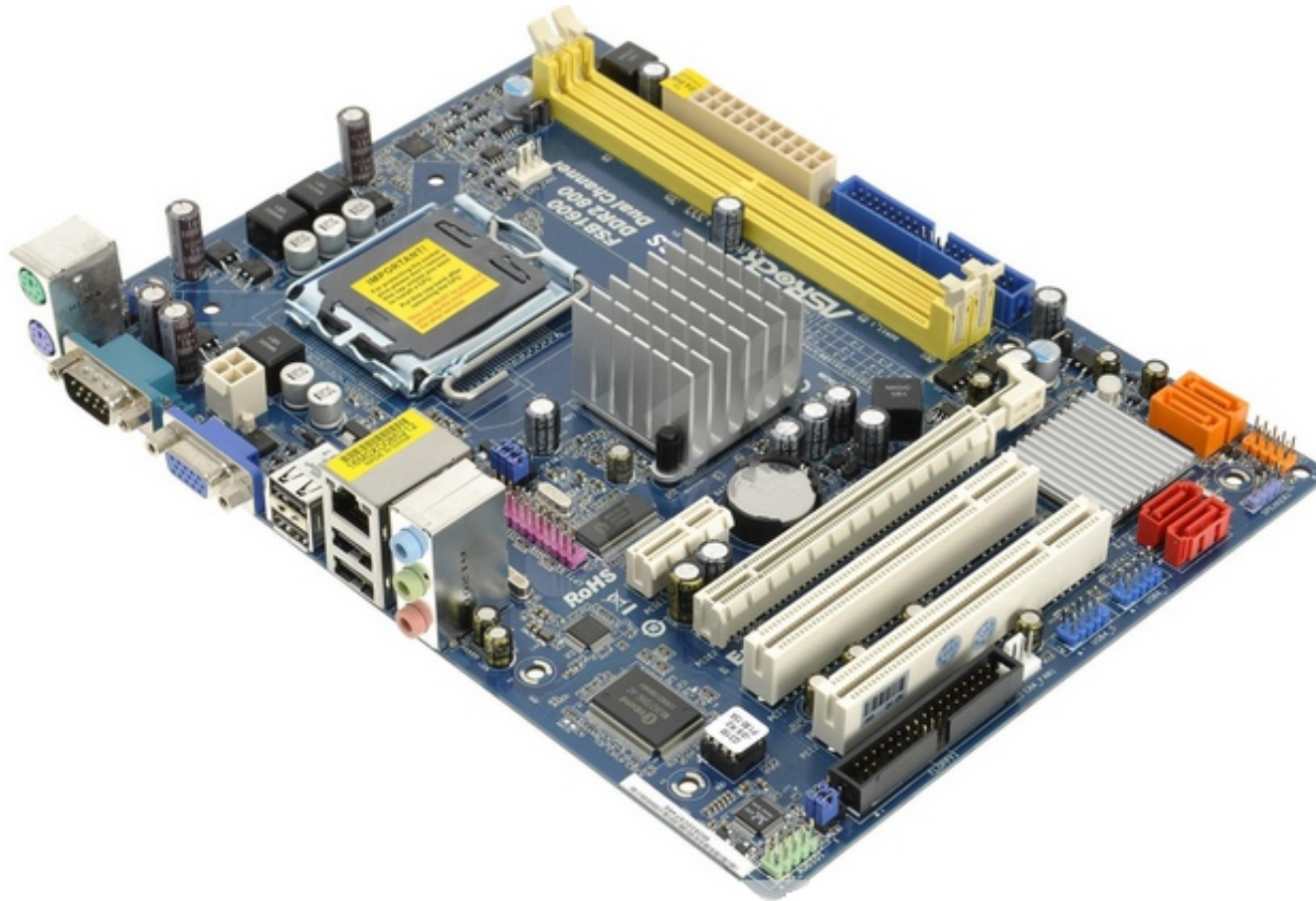
Proč je potřeba studovat i nízkoúrovňovou konstrukci počítače

- Pro návrh nové počítačové/procesorové architektury
- Pro implementaci vybrané architektury v integrovaném obvodu/FPGA
- Pro obvodový návrh hardware/systému (velké nebo vestavné systémy)
- Pro porozumění obecným otázkám a problémům ohledně počítačů, jejich architektur a výkonnosti
- **Pro to jak efektivně využívat existující hardware** (to znamená, jak psát kvalitní software)
 - Bez přehledu a pochopení chování, možností, omezení a limitace zdrojů není možné efektivně využít žádný hardware (pro moderní HW s více jádry a výpočetními subsystémy to platí dvojnásob)
 - Určitě lze vytvořit dobře placené programy i bez těchto znalostí, ale budou vyžadovat mnohonásobně silnější hardware a budou plýtvat zdroji. Není však takto možné vytvořit žádné náročné aplikace ať již na výkon nebo pro ušetření energie. Přitom to je oblast kde probíhá skutečný vývoj a mají z dlouhodobějšího technologického a i vědeckého pohledu smysl.

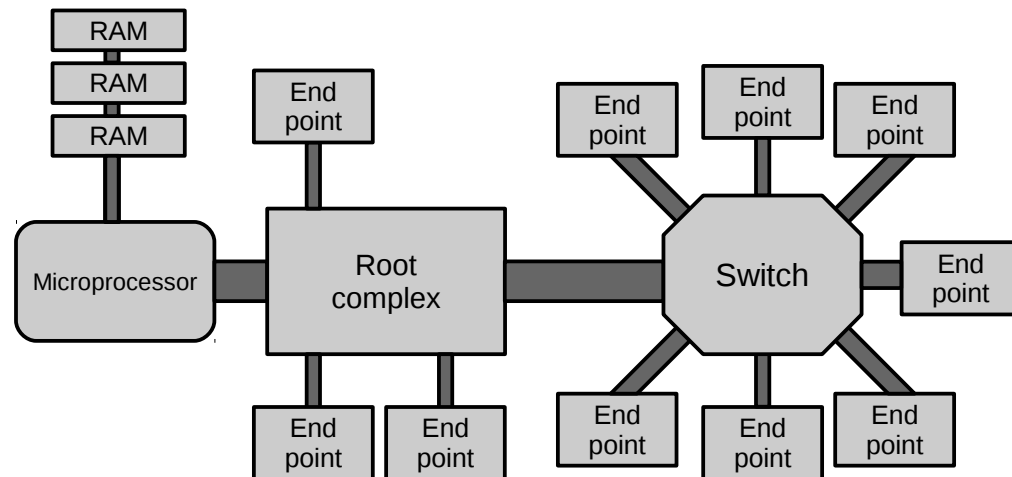
Další motivace a příklady

- Předkládané znalosti jsou nutné pro každého programátora, jehož aplikace pracují i jen s větším ovšem dnes běžným množstvím dat nebo vyžadují netriviální výpočetní výkon
- Žádná práce s multimédií nemůže být vykonána dobře bez takovýchto znalostí
- 1/3 našeho kurzu je zaměřená i na přístup k periferiím
- Další příklady
 - Facebook – HipHop for PHP -> C++/GCC -> machine code
 - RedHat – JAVA JIT for ARM for future servers generation
 - Multimedia and CUDA computations
 - Photoshop, GIMP (organizace dat v paměti)
 - Knot-DNS (RCU, Copy on write, Cuckoo hashing)

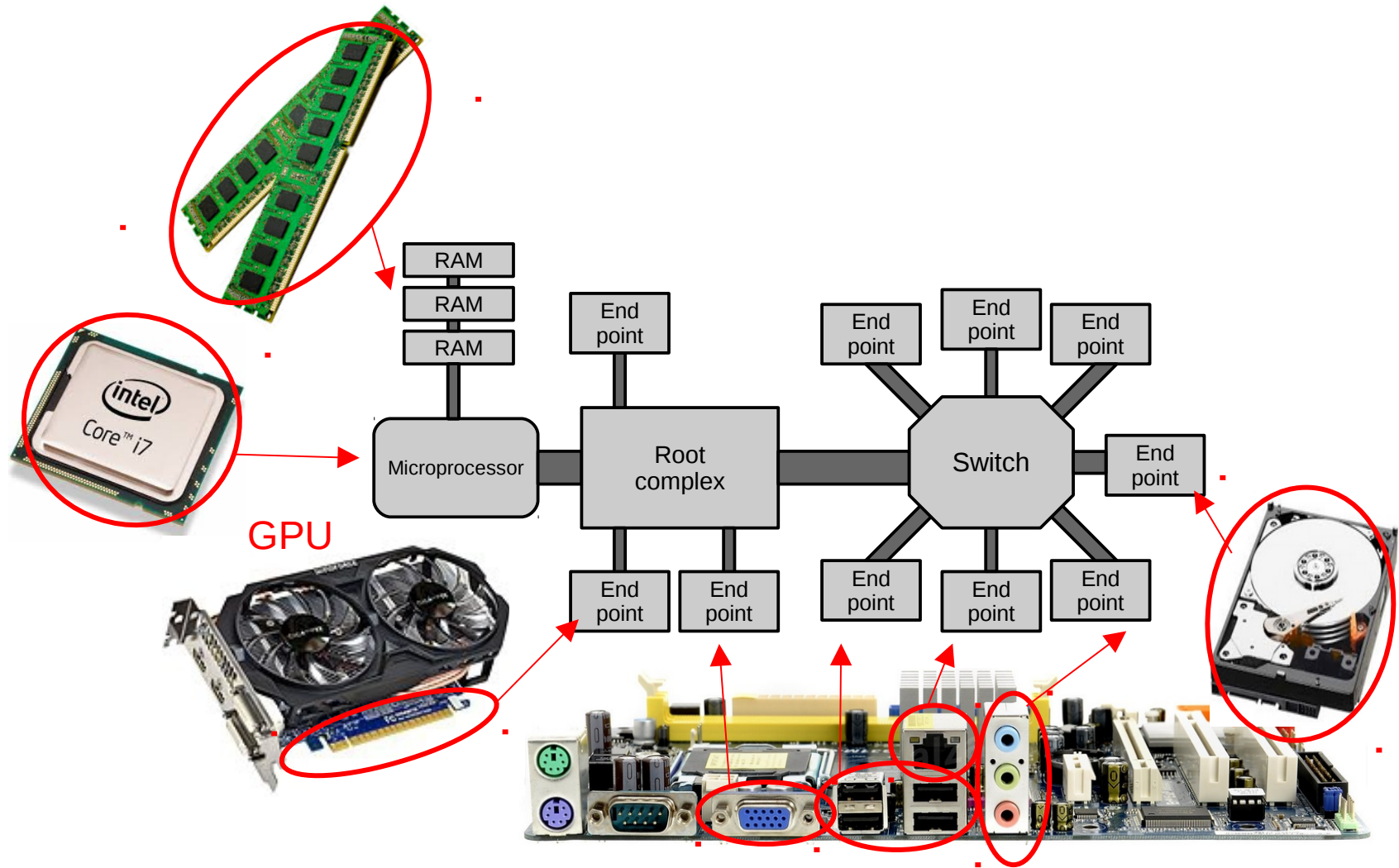
Architektura dnešního PC ???



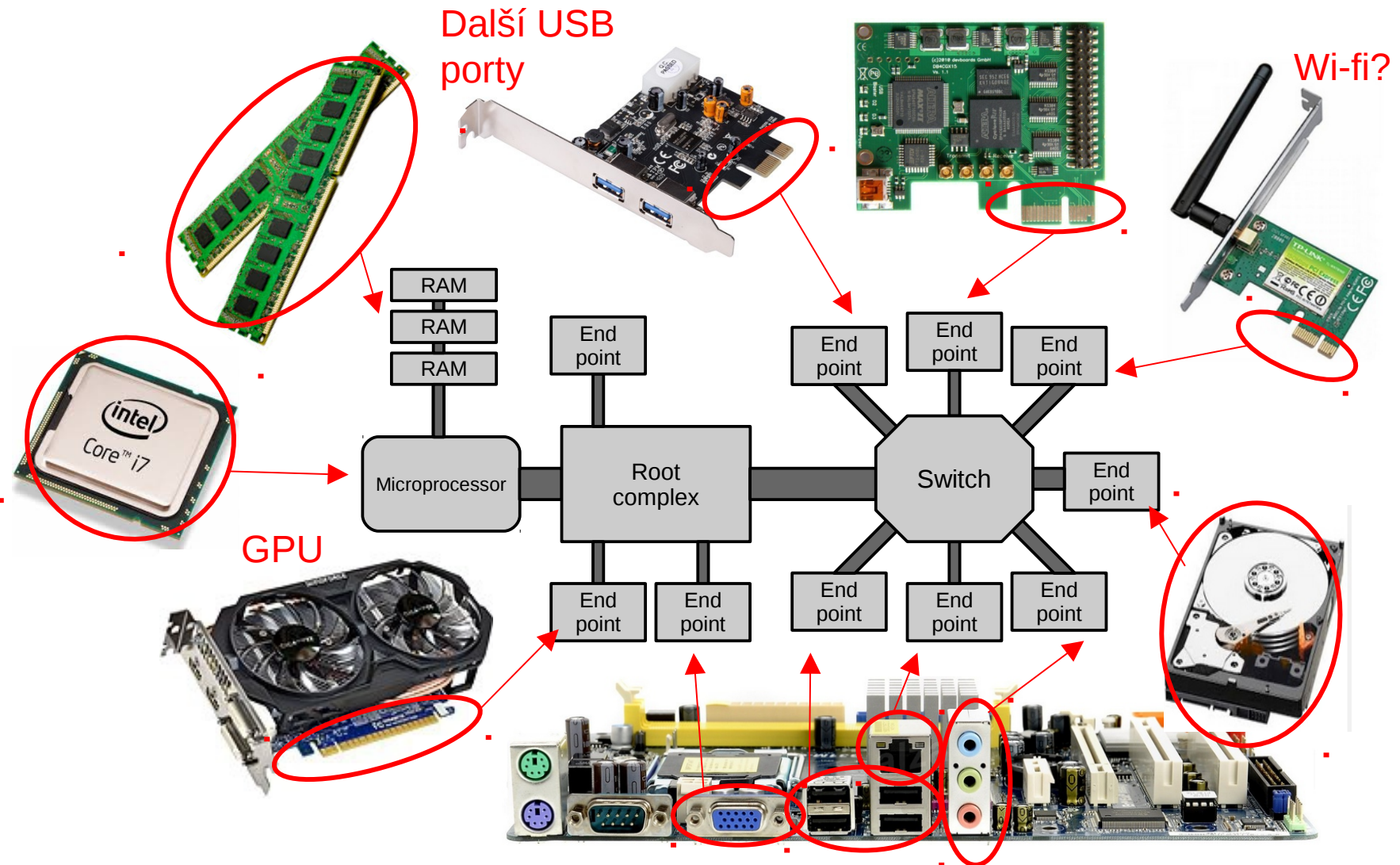
PC – Blokový diagram propojení sběrnic



PC – Blokový diagram propojení sběrníc

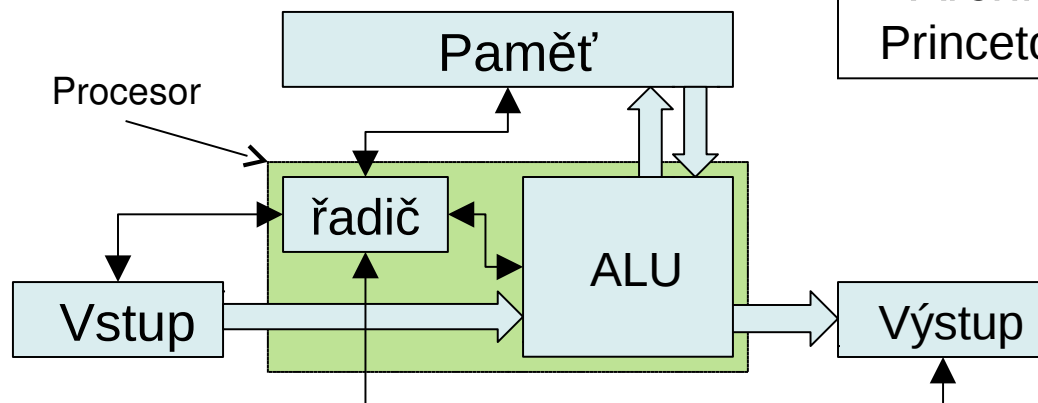


PC – Blokový diagram propojení sběrníc



John von Neumann, maďarský fyzik

Architektura počítače podle JvN +
Princeton Institute for Advanced Studies



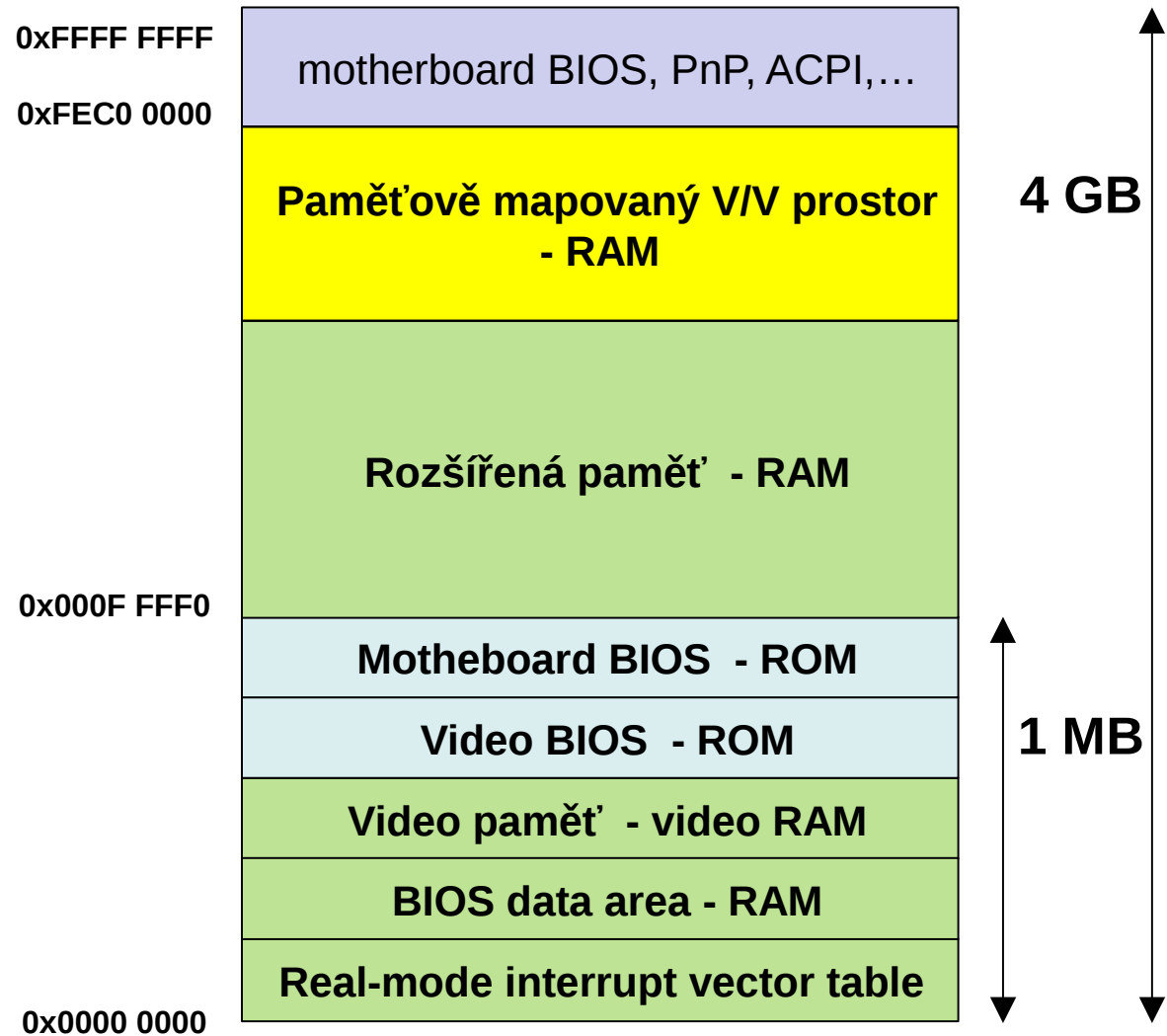
28. 12. 1903 -
8. 2. 1957



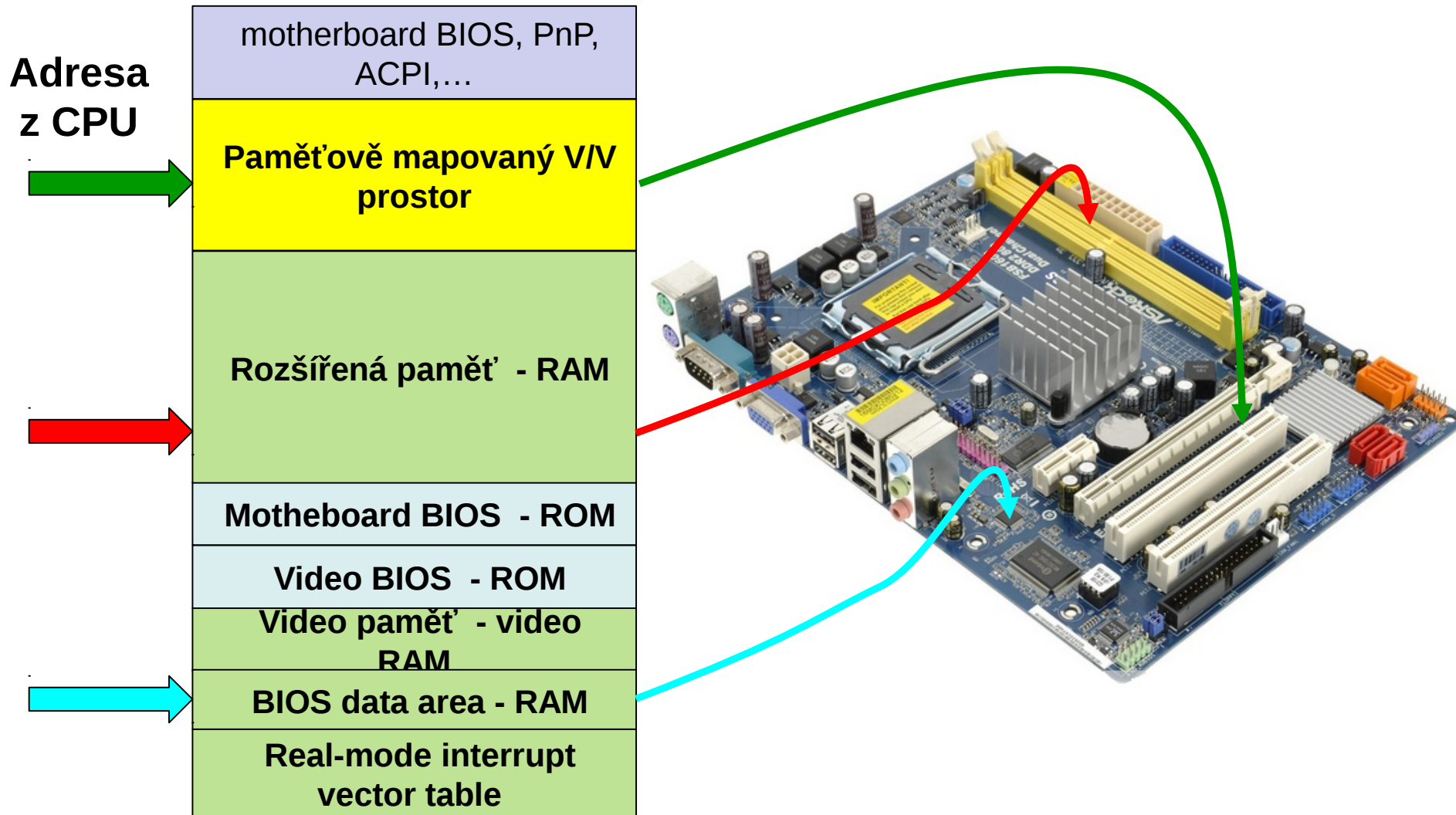
- 5 funkčních jednotek – řídicí jednotka (řadič), aritmeticko-logická jednotka, paměť, vstupní zařízení, výstupní zařízení
- Nezávislost struktury počítače na zpracovávaných problémech. Musí se zavést program a musí se uložit do paměti. Ten řídí činnost počítače.
- **Programy a výsledky (data) se ukládají do téže paměti.** Ta je rozdělena na stejně velké části (buňky), které jsou průběžně očíslované – adresa.
- Po sobě jdoucí instrukce se ukládají do po sobě jdoucích buněk.
- Existují instrukce aritmetické, logické, přenosu, skokové a ostatní.

Fyzický adresní prostor a jeho význam

- Fyzický adresní prostor je prostor, který přímo adresuje samotný procesor.
- Tento prostor může procesor adresovat na jeho adresní sběrnici.



Fyzický adresní prostor a jeho význam



Jak vypadá uvnitř smartphone? Samsung Galaxy S4



- **Android 5.0 (Lollipop)**
 - **Linux 3.5.4 (2012/2014)**
 - **Android Runtime (ART)**
- **2 GB RAM**
- **16 GB pro uživatele**
- **1920 x 1080 display**
- **8-jádrový CPU (čip Exynos 5410):**
 - **čtyři 1.6 GHz ARM Cortex-A15**
 - **čtyři 1.2 GHz ARM Cortex-A7**

Samsung Galaxy S4 – Mechanická konstrukce



Samsung Galaxy S4 – Hlavní deska plošného spoje

Power management

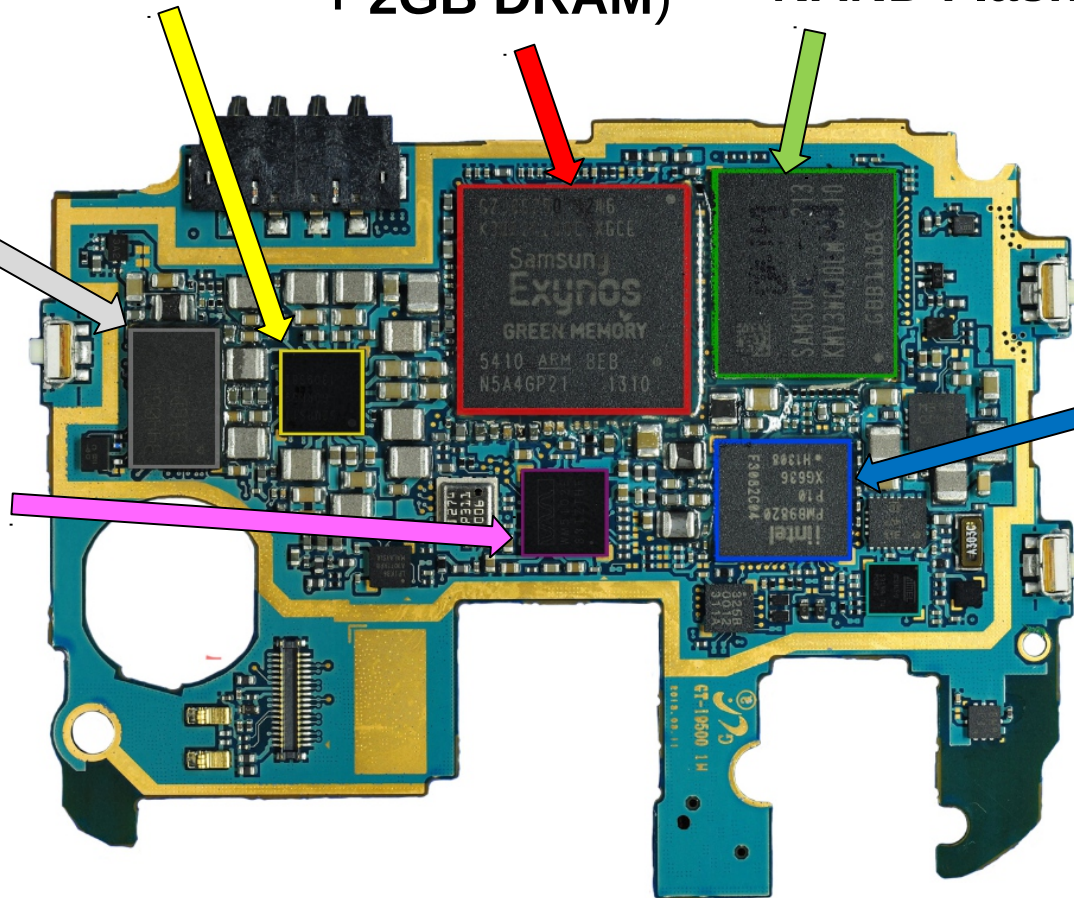
Exynos 5410
(8-core CPU + 2GB DRAM)

Multichip memory: 64 MB
DDR SDRAM, **16GB**
NAND Flash, Controller

Wi-fi
(broadcom
BCM4335)

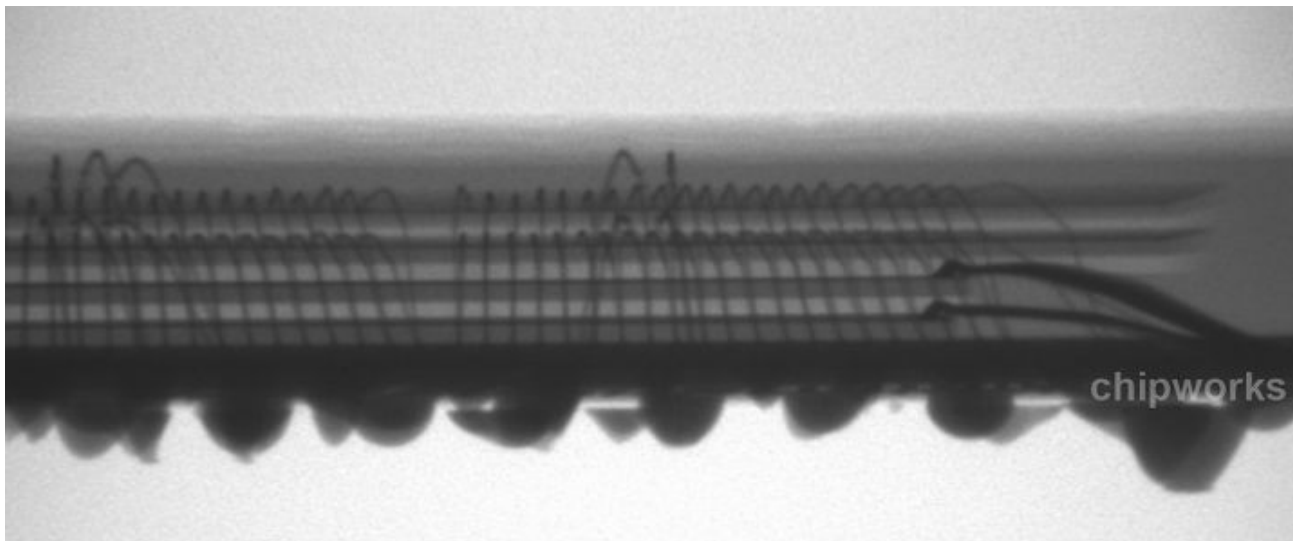
Intel PMB9820
baseband
processor (funkce
rádia přes anténu
- EDGE, WCDMA,
HSDPA/HSUPA)

DSP procesor
pro zpracování
hlasu, audio
codec



Samsung Galaxy S4 – Exynos 5410 – paměť

Rentgenový snímek paměťového modulu PoP (Package on Package), který je přiletovaný na vlastní čip CPU



Čtyři 4Gb(it) čipy propojené dohromady do kapacity 2GB(yte)
QDP – Quad die package – čtyři vrstvy nad sebou

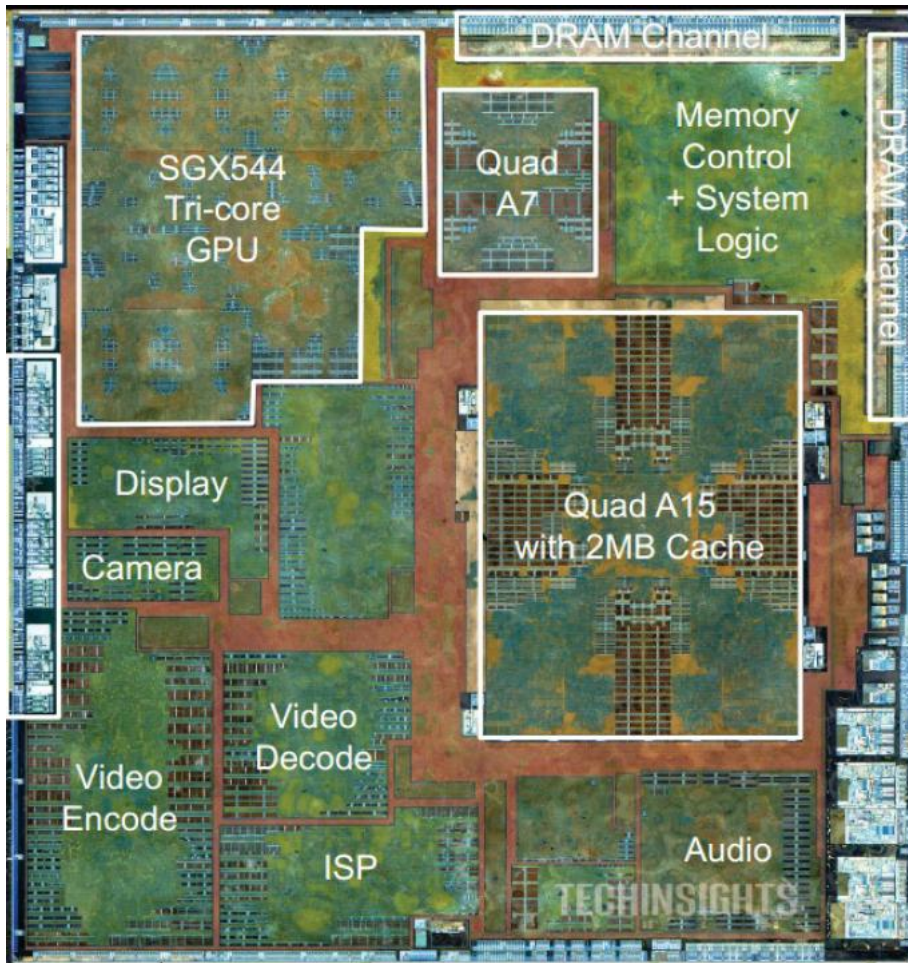
Samsung Galaxy S4 – Exynos 5410

Paměť DRAM při pohledu shora



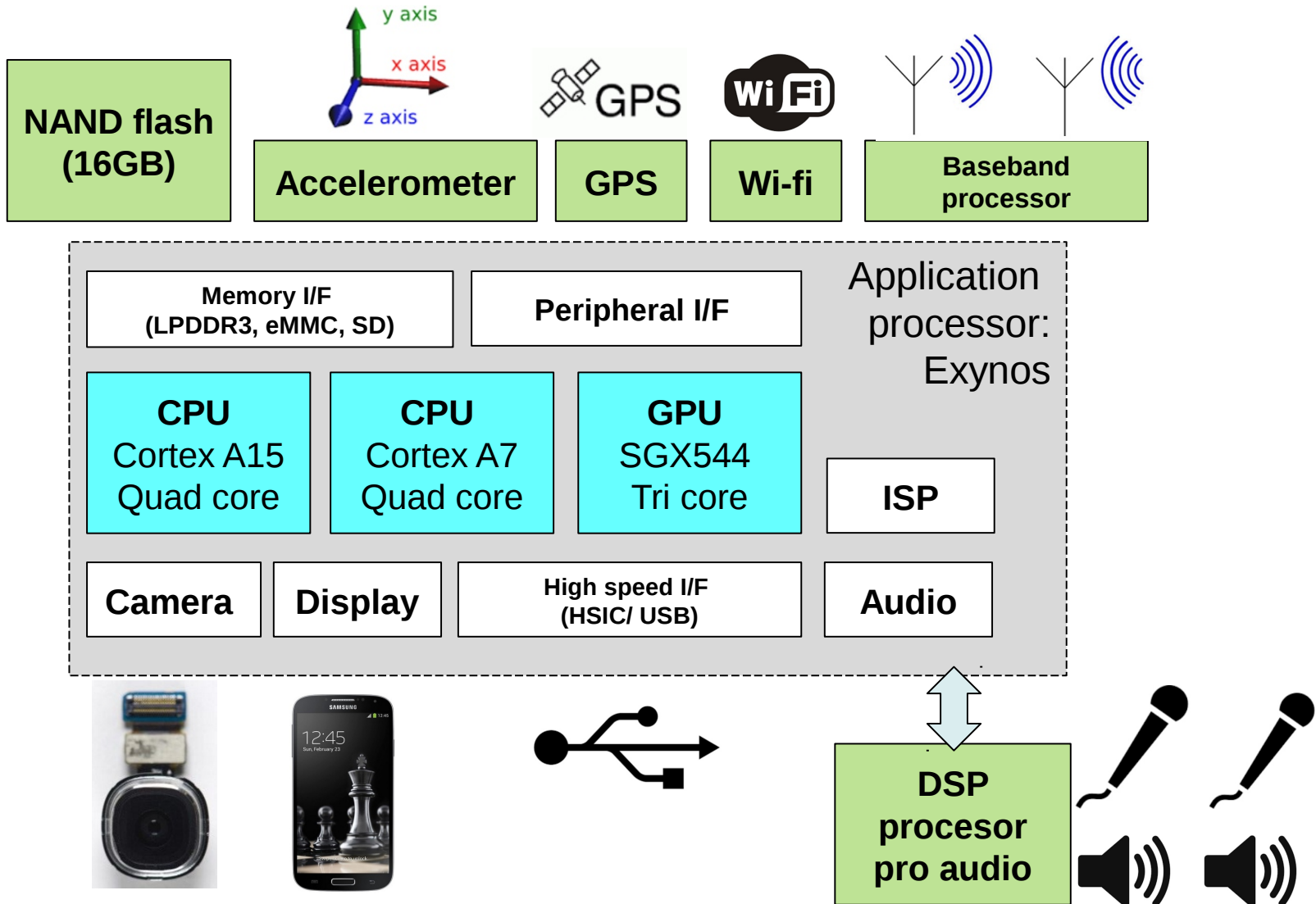
Samsung Galaxy S4 – Exynos 5410 – procesory

Řez čipem Exynos 5410 (v jiné úrovni)

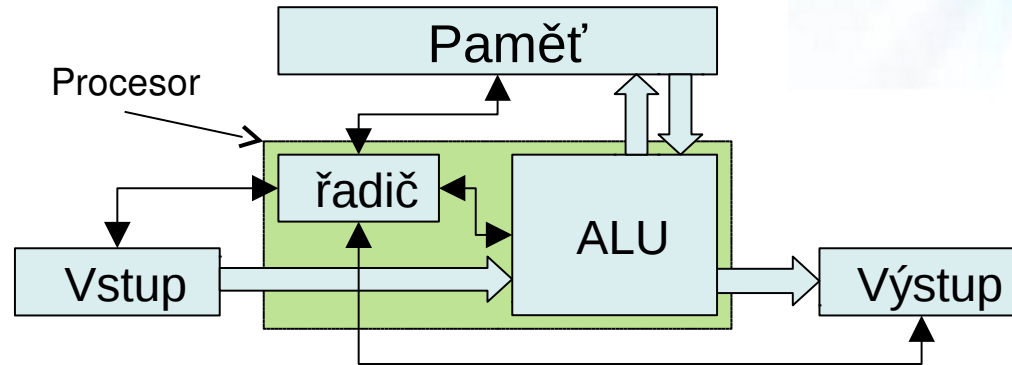


- Všimněte si rozdílných velikostí 4 jader A7 a 4 jader A15
- Na čipu jsou mimo vlastního procesoru integrovány i další součásti: GPU, Video coder a decoder a další. Jedná se tedy o **SoC** (System on Chip)

Samsung Galaxy S4 – propojení komponent



Společný koncept



- Procesor vykonává instrukce uložené v paměti (ROM, RAM) tak, aby obsluhoval periferie – reagoval na vnější události a zpracovával data.

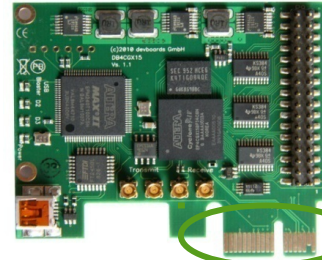
Přehled témat přednášek

3. přednáška:

Paměťový subsystém – hierarchie pamětí. Statická a dynamická paměť

4. přednáška:

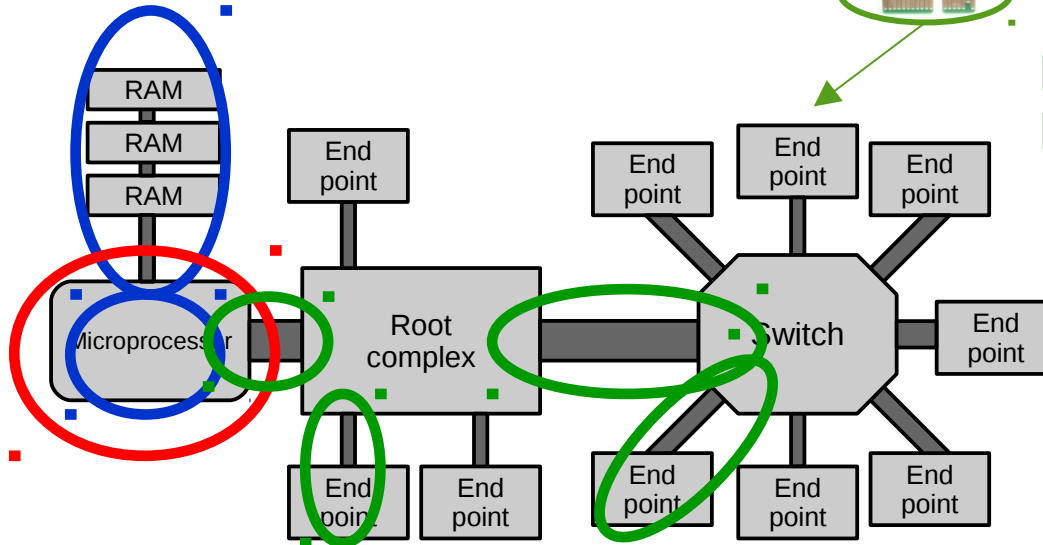
Paměťový subsystém – virtuální paměť



7. přednáška: Vstupně/výstupní podsystém. SW pohled.

2. přednáška:

Návrh jednoduchého CPU, Vykonávání instrukcí, Funkce řadiče



5. přednáška:

Princip zřetěženého zpracování instrukcí, Řešení hazardů uvnitř CPU

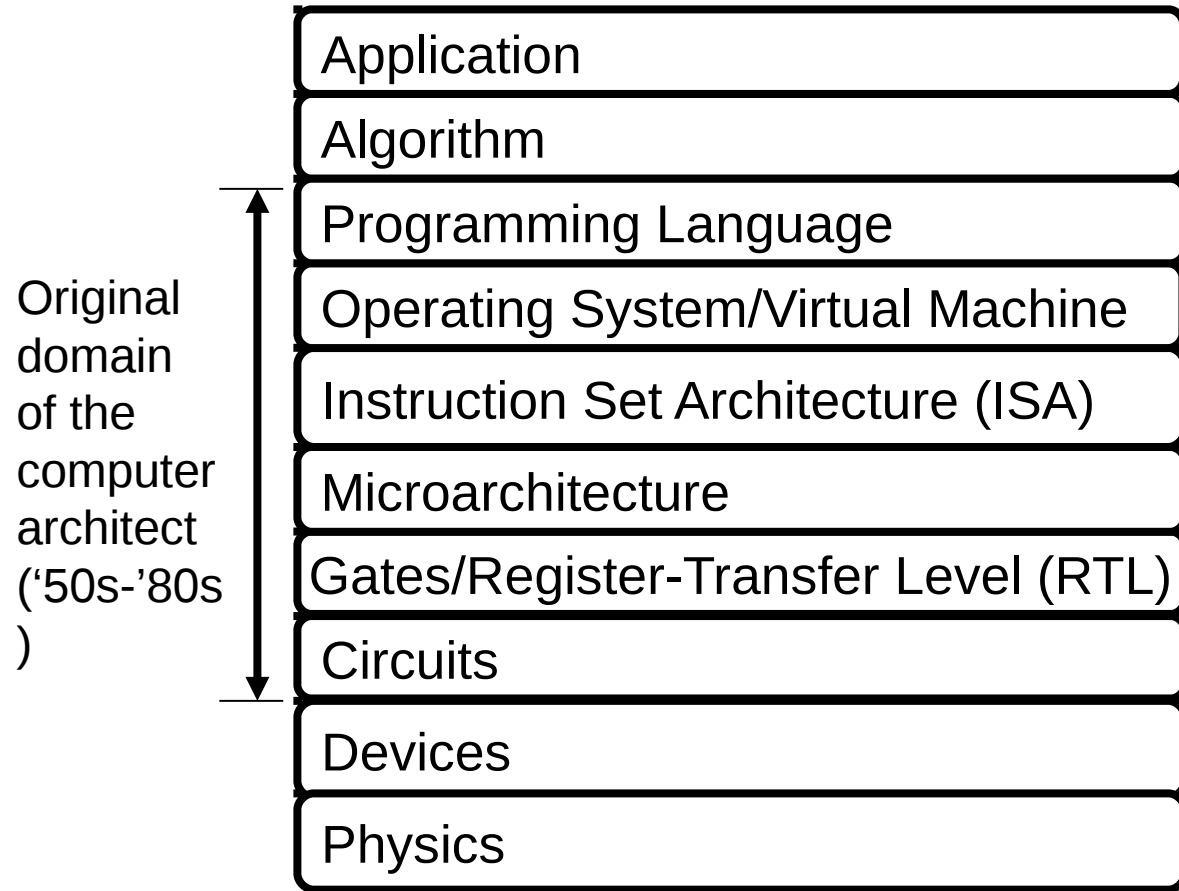
6. přednáška:

Vstupně/výstupní podsystém. HW pohled. Sběrnice PCI, propojení PCIe, USB, SerialATA, HyperTransport, QuickPath interconnect

Přehled témat přednášek

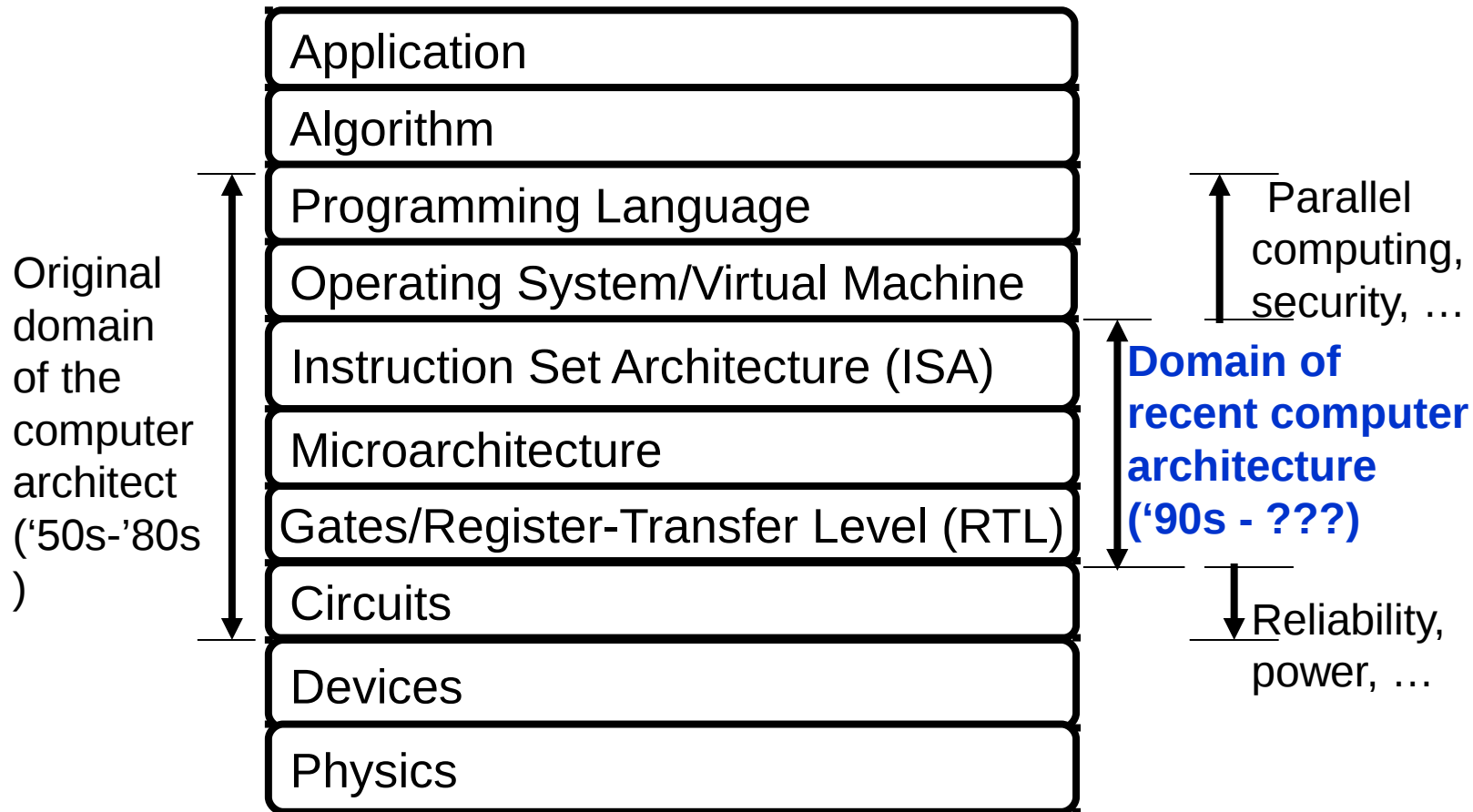
8. Předávání parametrů funkcím a virtuálním instrukcím operačního systému
9. Technické a organizační prostředky (vnější události, výjimky, reálný čas)
10. Síť procesorů a počítačů
11. Klasická registrově orientované architektury CISC
12. Procesorová rodina INTEL x86, Od 8086 k EMT64
13. Přehled vývoje architektury a koncepcí CPU (RISC/CISC)
14. Víceúrovňový model počítače, virtualizace

Co je to architektura počítače?



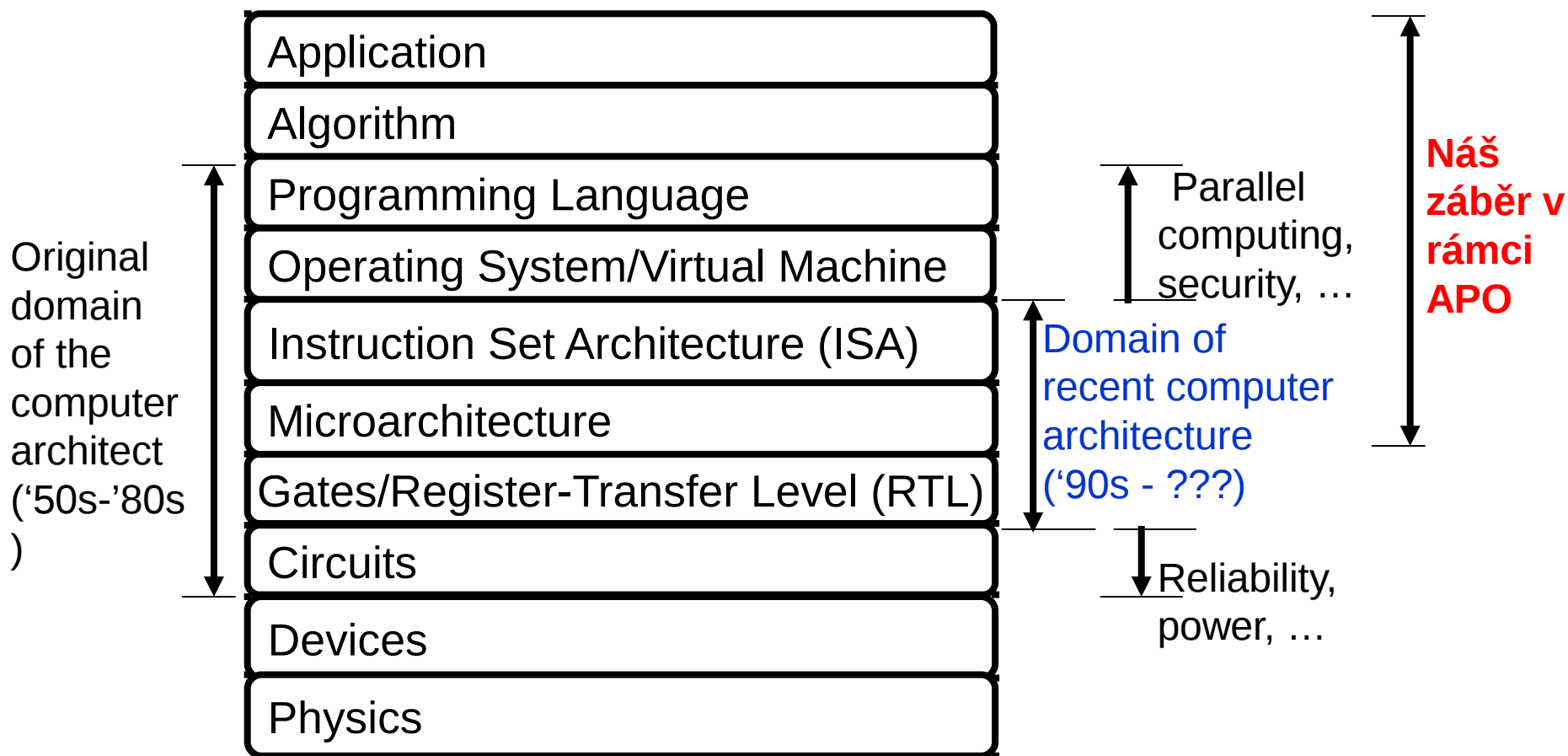
Reference: John Kubiatowicz: EECS 252 Graduate Computer Architecture, Lecture 1. University of California, Berkeley

Co je to architektura počítače?



Reference: John Kubiatowicz: EECS 252 Graduate Computer Architecture, Lecture 1. University of California, Berkeley

Co je to architektura počítače?



Reference: John Kubiatowicz: EECS 252 Graduate Computer Architecture, Lecture 1. University of California, Berkeley

Hodnocení a podmínky absolvování

Zápočet:

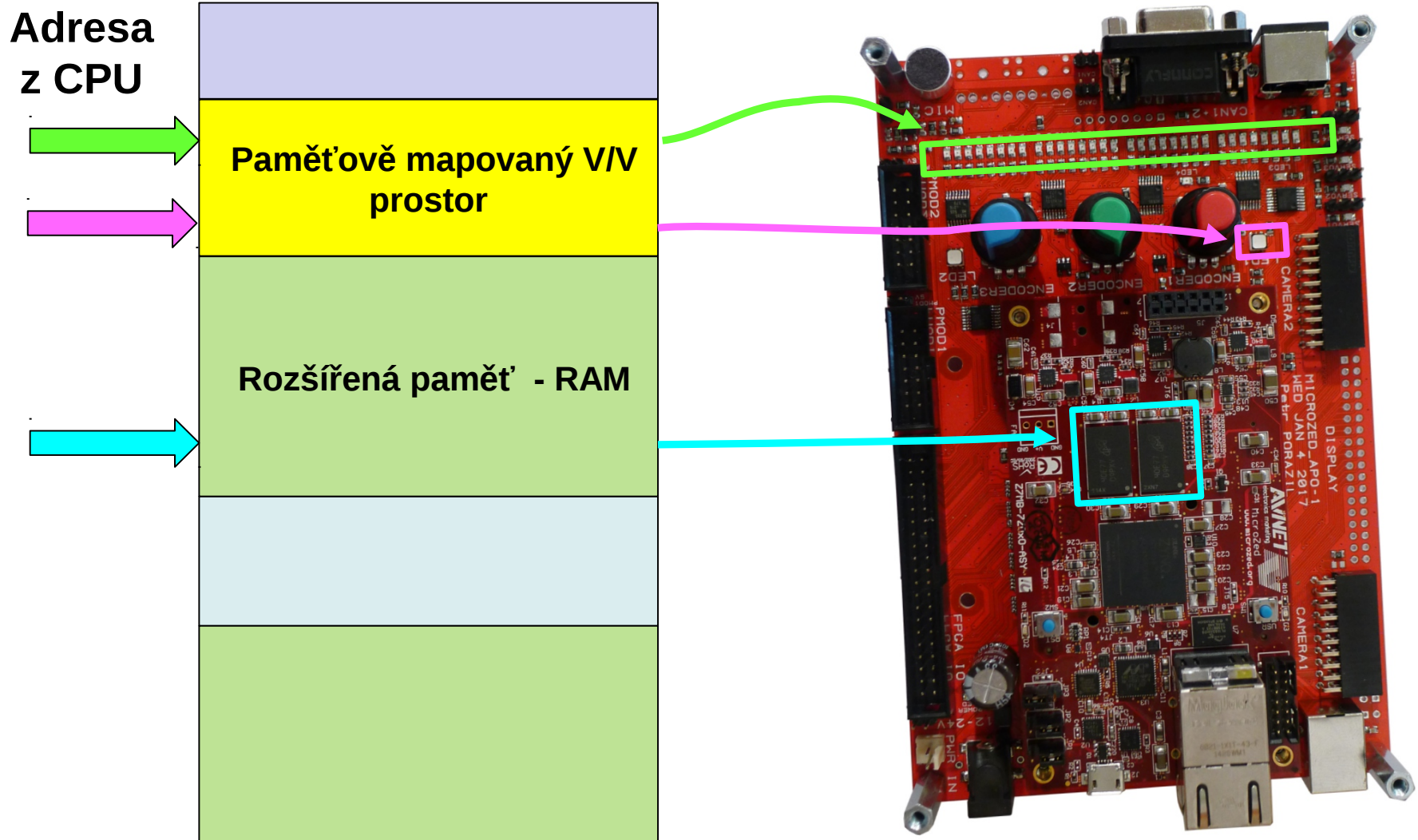
Kategorie	Body	Nutné minimum
4 domácí úkoly	24	10
Hlavní test (9. přednáška)	20	10
Týmový projekt	20	5
Celkem	64	

Zkouška:

Kategorie	Body	Nutné minimum
Písemná část zkoušky	30	15
Ústní část zkoušky	+/- 10	0

Známka	Bodové rozmezí
A	90 a více
B	80 - 89
C	70 - 79
D	60 - 69
E	50 - 59
F	méně než 50

První cvičení – fyzický adresní prostor na MZ_APO



Přístup k LED diodám z C programu na MZ_APO

```
int main(int argc, char *argv[])
{
    unsigned char *mem_base; /* virtuální adresa oblasti registrů */
    volatile unsigned char *led_port; /* adresa portu s diodou*/

    mem_base =
        map_phys_address(LED_REG_BASE_PHYS, SPILED_REG_SIZE, 0);
    led_port = mem_base + SPILED_REG_LED_LINE_0;

    while(1) {
        *led_port = 1; /* rozsvit' diodu */
        sleep(1);
        *led_port = 0; /* zhasni diodu */
        sleep(1);
    }
    return 0;
}
```

Obsah látky 1. přednášky

- Jak se v počítači ukládají
 - Čísla typu INTEGER, bez i se znaménkem,
 - Čísla typu REAL,
 - Hodnoty typu LOGICAL?
- Jak se realizují základní operace
 - Sčítání, odčítání,
 - Posuny,
 - Násobení, dělení

MOTIVACE: Co program vytiskne?

```
int main() {  
    int a = -200;  
    printf("hodnota: %u = %d = %f = %c \n", a,  
    a, *((float*)&a), a);  
  
    return 0;  
}
```

hodnota: 4294967096 = -200 = nan = 8

0x38 0xff 0xff 0xff

Základní terminologie

Číselná soustava:

- **Nepoziční číselná soustava** - hodnota číslice není dána jejím umístěním v dané sekvenci číslic, ale jejím vzhledem (zápisem/symbolem)



<http://diameter.si/sciquest/E1.htm>

- Hodnota čísla může být dána prostým součtem hodnot jednotlivých číslic (Egyptské číslice) nebo je zapotřebí použít nějaká pravidla (Římské číslice)

Poziční číselná soustava



10, 100, 1000, 10000, 100000, 1 million

Hodnota čísla tedy je: 1 333 331

Základní terminologie

- **Číselná soustava:**
- **Poziční číselná soustava** - hodnota každé číslice je dána její pozicí v sekvenci symbolů
 - Množina všech symbolů (číslic) se nazývá abeceda
 - Celá část je oddělena od zlomkové speciálním znakem (řádková čárka/tečka)

Λ – abeceda - Například $\{0, 1, 2, 3, 4, 5, 6, 7, 8, 9\}$ pro desítkovou soustavu

z – základ (radix) soustavy – obvykle přirozené číslo >1

$a \in \Lambda$ - číslice

$$A \sim a_n a_{n-1} \dots a_0, a_1 \dots a_{-m}$$

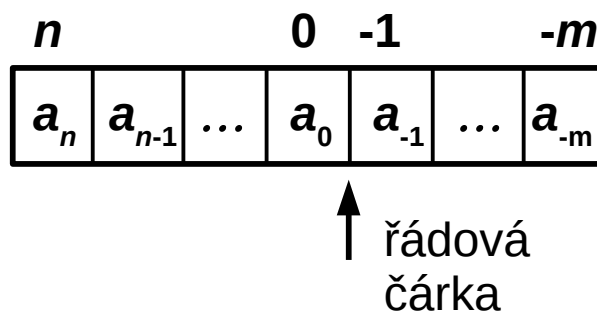
$$A = a_n z^n + a_{n-1} z^{n-1} + \dots + a_0 + a_1 z^{-1} \dots a_{-m} z^{-m}$$

Poziční číselná soustava

Například dekadické číslo 348,31

má hodnotu $3 \cdot 10^2 + 4 \cdot 10^1 + 8 \cdot 10^0 + 3 \cdot 10^{-1} + 1 \cdot 10^{-2}$

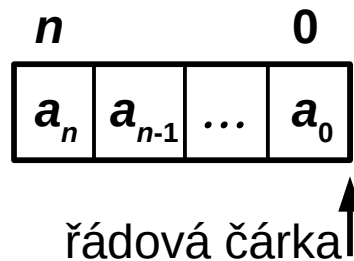
- Pokud si zvolíme **fixně** počet pozic pro celočíselnou část ($n+1$) a počet pozic pro zlomkovou část (m), bude:



- Nejmenší zobrazitelné číslo: $\varepsilon = z^{-m}$,
- Modul - nejmenší hodnota, kterou již neumíme zobrazit: $M = z^{n+1}$
- Zobrazitelná čísla tedy leží v rozsahu: $0 \leq A < M$

Uložení čísel typu INTEGER bez znaménka

- Zvolme si tedy celkově například **8 pozic**, z toho všechny pro celočíselnou část a základ soustavy roven $z = 2$.

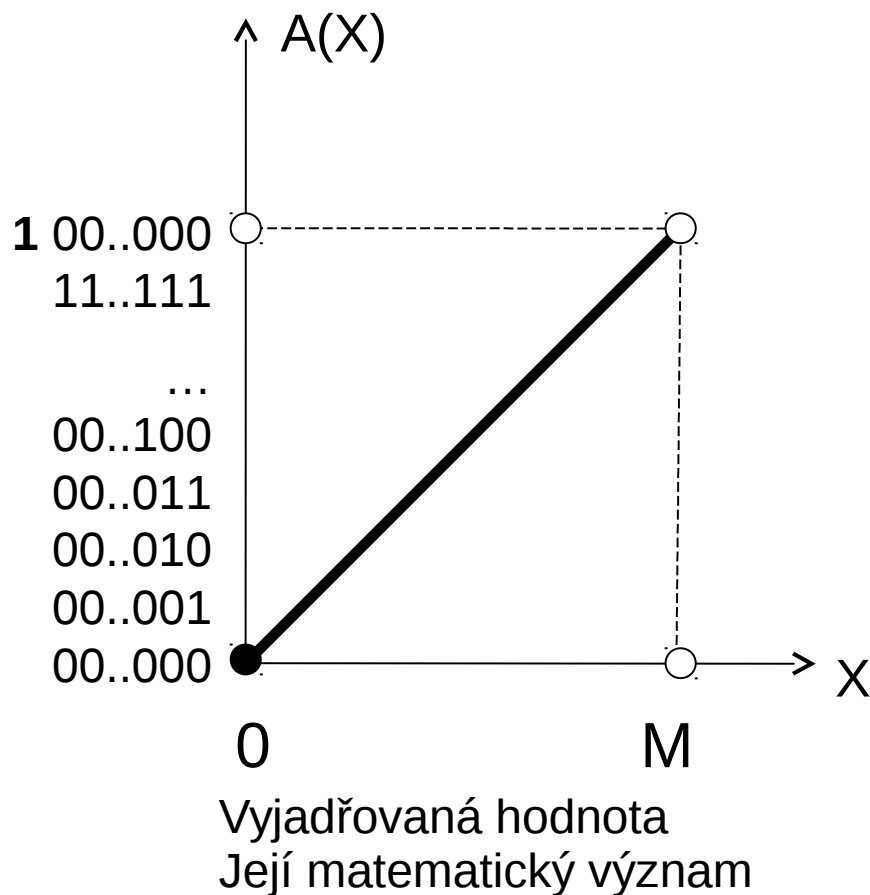


- $2^8 = 256_D$ (desítkově). Rozsah je příliš malý
 - Řešení: proč nepoužít více bajtů?
 - $4B = 2^{32} = 4\,294\,967\,296_D$,
 - Rozsah tedy je: $\langle 0, 2^{n+1}-1 \rangle$, nebo pokud N bude počet bitů: $\langle 0, 2^N-1 \rangle$

Binární hodnota	Neznaménková reprezentace
00000000	$0_{(10)}$
00000001	$1_{(10)}$
⋮	⋮
01111101	$125_{(10)}$
01111110	$126_{(10)}$
01111111	$127_{(10)}$
10000000	$128_{(10)}$
10000001	$129_{(10)}$
⋮	⋮
11111101	$253_{(10)}$
11111110	$254_{(10)}$
11111111	$255_{(10)}$

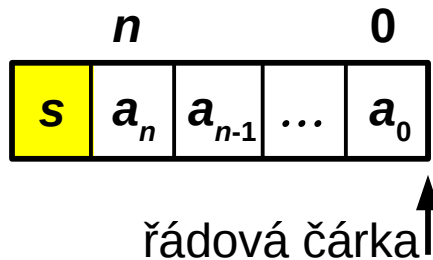
Uložení čísel typu INTEGER bez znaménka

Pořadové číslo kombinace bitů
Binární reprezentace čísla



Binární hodnota	Neznaménková reprezentace
00000000	0 ₍₁₀₎
00000001	1 ₍₁₀₎
⋮	⋮
01111101	125 ₍₁₀₎
01111110	126 ₍₁₀₎
01111111	127 ₍₁₀₎
10000000	128 ₍₁₀₎
10000001	129 ₍₁₀₎
⋮	⋮
11111101	253 ₍₁₀₎
11111110	254 ₍₁₀₎
11111111	255 ₍₁₀₎

Uložení čísel typu INTEGER se znaménkem



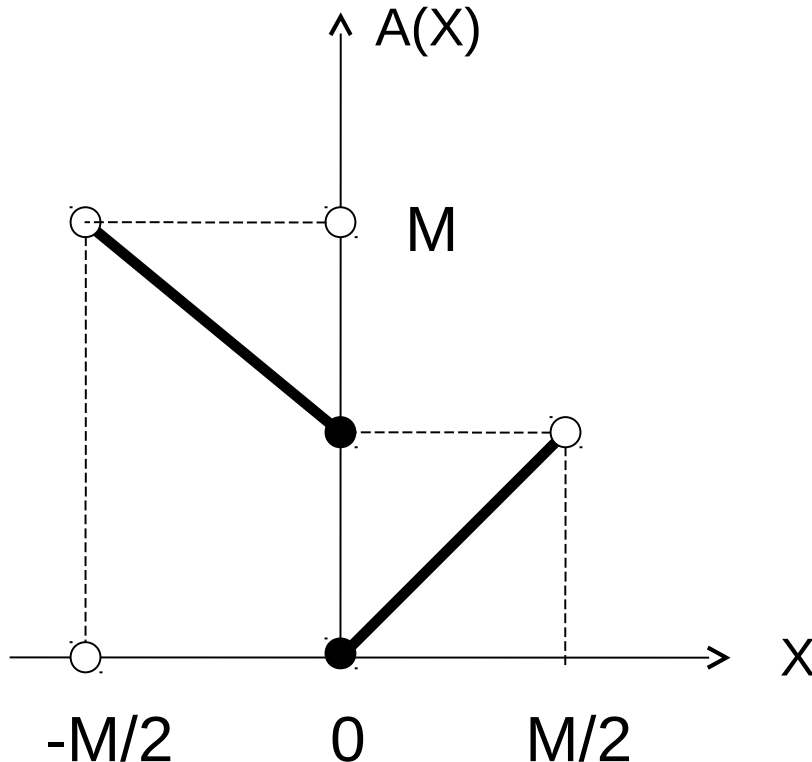
- Znaménko a hodnota. Jde o **přímý kód**.
- Běžně dodržovaná dohoda:
 - $0 \approx +$, $1 \approx -$.
- Nevýhoda: jinak se musí při aritmetických operacích pracovat se znaménkovým bitem, jinak s bity hodnoty.
- Jiná nevýhoda: máme 2 různá vyjádření nuly.

Binární hodnota	Přímý kód
00000000	+0 ₍₁₀₎
00000001	1 ₍₁₀₎
⋮	⋮
01111101	125 ₍₁₀₎
01111110	126 ₍₁₀₎
01111111	127 ₍₁₀₎
10000000	-0 ₍₁₀₎
10000001	-1 ₍₁₀₎
10000010	-2 ₍₁₀₎
⋮	⋮
11111101	-125 ₍₁₀₎
11111110	-126 ₍₁₀₎
11111111	-127 ₍₁₀₎

Uložení čísel typu INTEGER se znaménkem

Přímý kód – pokračování...

- Pokud N bude počet bitů:
 $\langle -2^{N-1} - 1, 2^{N-1} - 1 \rangle$



Binární hodnota	Přímý kód
00000000	+0 ₍₁₀₎
00000001	1 ₍₁₀₎
⋮	⋮
01111101	125 ₍₁₀₎
01111110	126 ₍₁₀₎
01111111	127 ₍₁₀₎
10000000	-0 ₍₁₀₎
10000001	-1 ₍₁₀₎
10000010	-2 ₍₁₀₎
⋮	⋮
11111101	-125 ₍₁₀₎
11111110	-126 ₍₁₀₎
11111111	-127 ₍₁₀₎

Propojení hardware, signálů a software

- V programovacím jazyce C se celým číslem bez znaménka říká *unsigned integers* a v programu se deklarují jako **unsigned int**.
- Těm se znaménkem se říká *integers* a v programu se deklarují jako **signed int**.

Čísla INTEGER se znaménkem II.

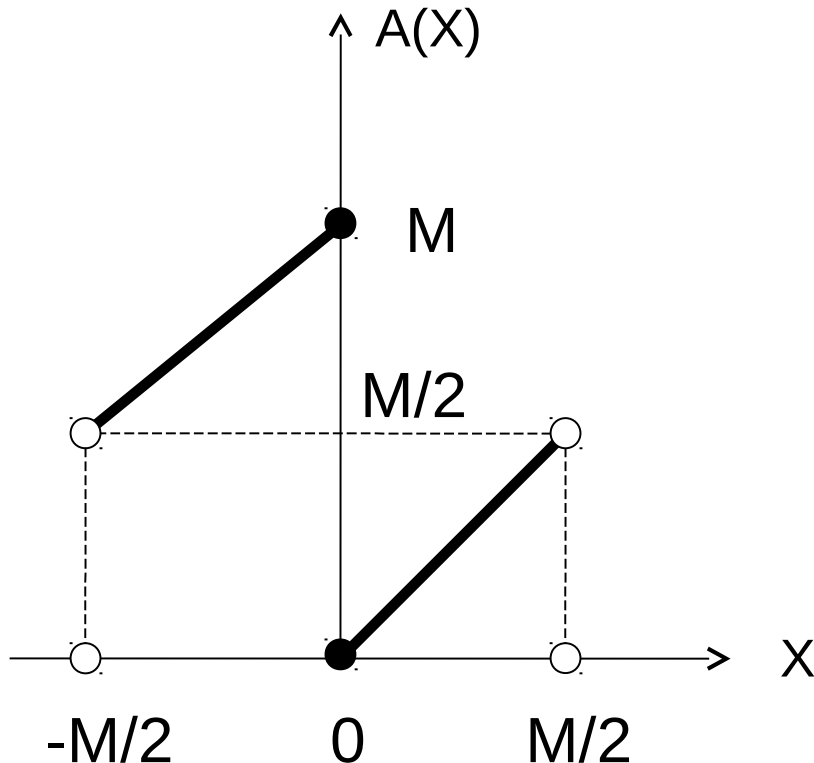
- **Inverzní kód** – jedničkový doplněk (one's complement):
- Výhodnější varianta než přímý kód
- Proč výhodnější? Úspora v HW!
- Jedničkový doplněk **záporného** čísla se (ve dvojkové soustavě) vytvoří bitovou negací čísla **kladného** => inverze všech bitů (jedničkový doplněk)

Dekadická hodnota	Reprezentace v inverzím kódu na 4 bity
6	0110
-6	1001

Uložení čísel typu INTEGER se znaménkem II.

Inverzní kód – pokračování...

- Pokud N bude počet bitů:
 $\langle -2^{N-1} - 1, 2^{N-1} - 1 \rangle$



Binární hodnota	Inverzní kód
00000000	$0_{(10)}$
00000001	$1_{(10)}$
\vdots	\vdots
01111101	$125_{(10)}$
01111110	$126_{(10)}$
01111111	$127_{(10)}$
10000000	$-127_{(10)}$
10000001	$-126_{(10)}$
10000010	$-125_{(10)}$
\vdots	\vdots
11111101	$-2_{(10)}$
11111110	$-1_{(10)}$
11111111	$-0_{(10)}$

Čísla INTEGER se znaménkem III.

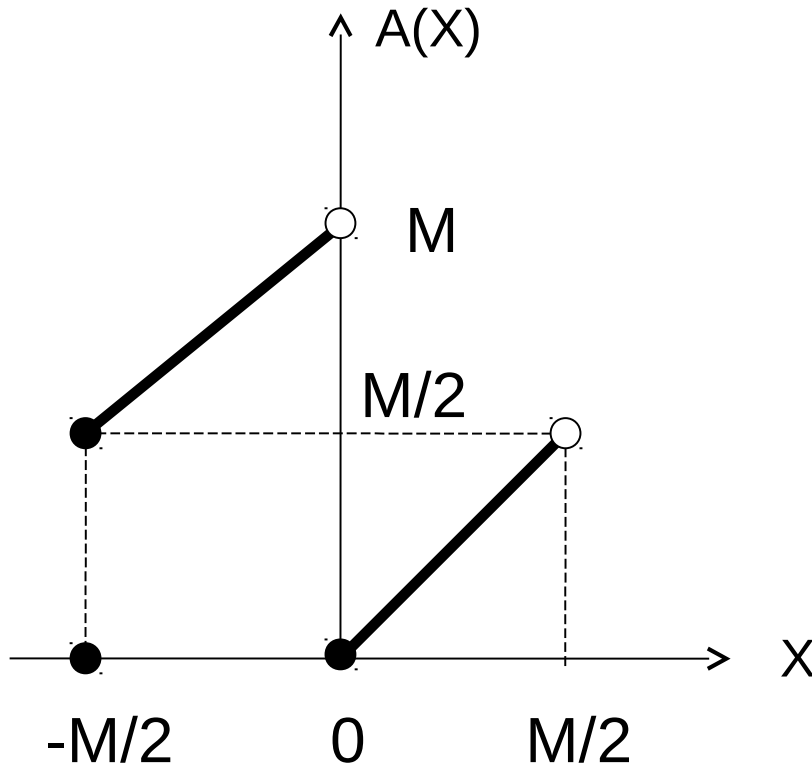
Dvojkový doplněk (two's complement):

- Výhodnější varianta než inverzní kód
- Proč výhodnější? Úspora v HW!
- Často se označuje **nepřesně** jako „**doplňkový kód**“
- Dvojkový **doplněk** záporného čísla se (ve dvojkové soustavě) připočtením 1 k nejnižšímu bitu záporného čísla reprezentovaného v inverzním kódu
- Jedničkový se od dvojkového doplňku se liší málo, jen o jedničku
- Na rozdíl od jednotkového **inverzního kódu** nevyžaduje přičítat horkou jedničku (Hot-One) při přechodu ze záporné na kladnou hodnotu. Stejná binární sčítačka je použitelná pro signed a unsigned.

Dekadická hodnota	Reprezentace v dvojkovém doplňku na 4 bity
6	0110
-6	1010

Čísla INTEGER se znaménkem III.

- **Dvojkový doplněk** – pokračování...
- Pokud N bude počet bitů: $\langle -2^{N-1}, 2^{N-1} - 1 \rangle$



Binární hodnota	Dvojkový doplněk
00000000	$0_{(10)}$
00000001	$1_{(10)}$
⋮	⋮
01111101	$125_{(10)}$
01111110	$126_{(10)}$
01111111	$127_{(10)}$
10000000	$-128_{(10)}$
10000001	$-127_{(10)}$
10000010	$-126_{(10)}$
⋮	⋮
11111101	$-3_{(10)}$
11111110	$-2_{(10)}$
11111111	$-1_{(10)}$

Doplňkový kód - příklady

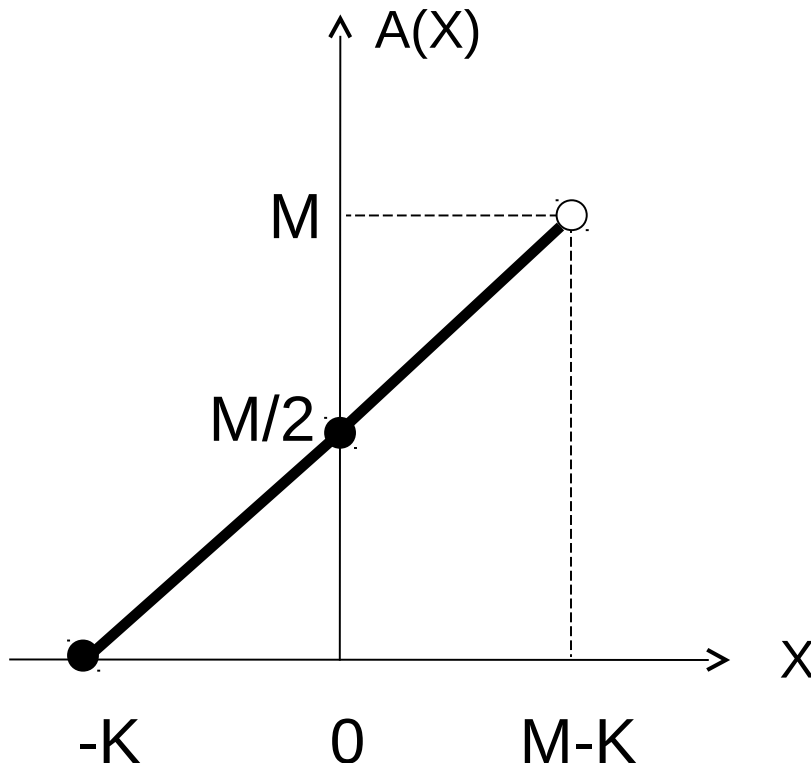
- Příklady reprezentací:

$0_D = 00000000_H$	
$1_D = 00000001_H$	$-1_D = FFFFFFFF_H$
$2_D = 00000002_H$	$-2_D = FFFFFFFE_H$
$3_D = 00000003_H$	$-3_D = FFFFFFFD_H$

- Analogii dvojkového doplňku se v soustavě s jiným základem říká doplněk do modulu. Stejně se postupuje třeba v soustavě desítkové (doplněk do „10“).
- Všimněte si: součet dvou opačných čísel se stejnou absolutní hodnotou je 00000000_H .
- Přenos do vyššího řádu (bit 32) ignorujeme. Sčítáme vlastně mod 2^{32} .
- Jak je to vlastně v tomto kódování s **přeplněním** (přetečením) rozsahu? Budeme diskutovat později...

Čísla INTEGER se znaménkem IV.

- Je i jiná možnost pro zobrazení čísel se znaménkem?
- Ano, dokonce často používaná (viz dále):
- **kód aditivní** (jinak zvaný s posunutou nulou).



Obvykle volíme
 $K = \frac{1}{2} M - 1$

Připomenutí: M je modul

Sčítání a odčítání v aditivním kódu

- Platí:

$$\begin{aligned}\mathcal{A}(A + B) &= \mathcal{A}(A) + \mathcal{A}(B) - K \\ \mathcal{A}(A - B) &= \mathcal{A}(A) - \mathcal{A}(B) + K\end{aligned}$$

- Detekce přeplnění
 - sčítání: stejná znaménka sčítanců a jiné znaménko výsledku,
 - odčítání: znaménka menšence a menšitele se liší a liší se znaménka menšence a výsledku.

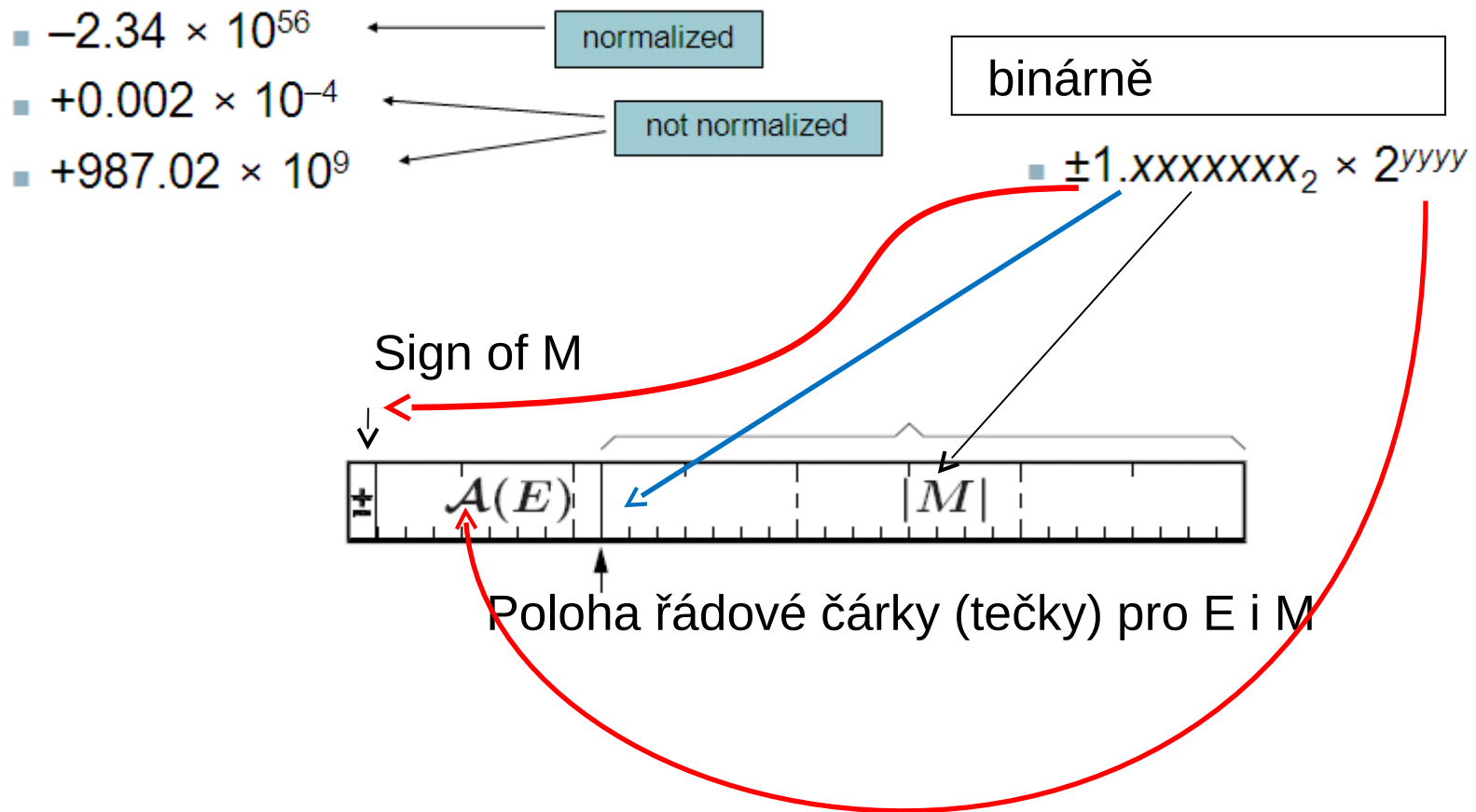
Jak se v počítači zobrazují čísla typu REAL?

- Vědecká, neboli semilogaritmická notace.
 - Dvojice: EXPONENT (E), ZLOMKOVÁ část (nazývaná též mantisa M).
 - **Mantisa x základ**^{Exponent}
- Notace je normalizovaná.
 - Zlomková část vždy začíná binární číslicí 1,
 - Obecně: nenulovou číslicí $\langle 1, z - 1 \rangle$.
- Dekadicky: $7,26478 \times 10^3$
- Binárně: $1,010011 \times 2^{1001}$

Propojení hardware, signálů a software

- Reprezentace je definovaná normou **IEEE754** ve verzích
 - jednoduchá (32 bitů)
 - dvojnásobná přesnost (64 bitů)
 - Nově (IEEE 754-2008) i poloviční (16 bitů – především pro hry a barvy), a čtyřnásobná (128 bitů) a osminásobná přesnost (256 bitů) pro speciální vědecké výpočty
- V programovacím jazyce C se proměnné s jednoduchou a dvojnásobnou přesností deklarují jako **float** a **double**.

(De)normalizovaná čísla v desítkové a dvojkové soustavě

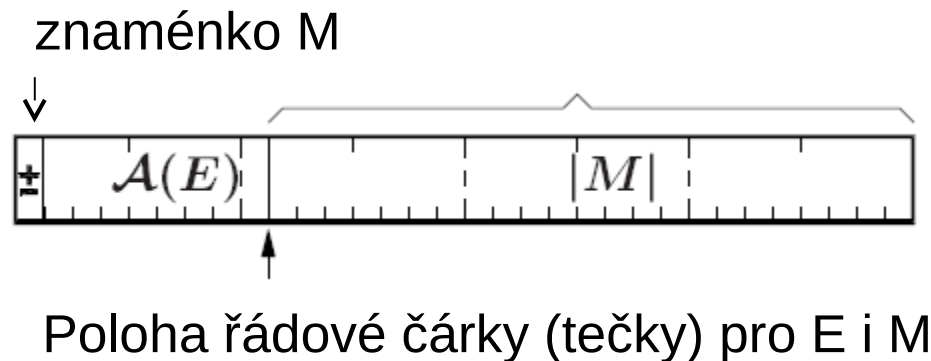


Reprezentace/kódování čísla v pohyblivé řádové čárce

- Kód mantisy: přímý kód – znaménko a absolutní hodnota
- Kód exponentu: aditivní kód (s posunutou nulou) ($K=127$ pro jednoduchou přesnost)
- Implicitní počáteční jednička může být pro normalizovanou mantisu vynechána $m \in \langle 1, 2 \rangle$
rozlišení $23+1$ implicitní bit pro jednoduchou přesnost

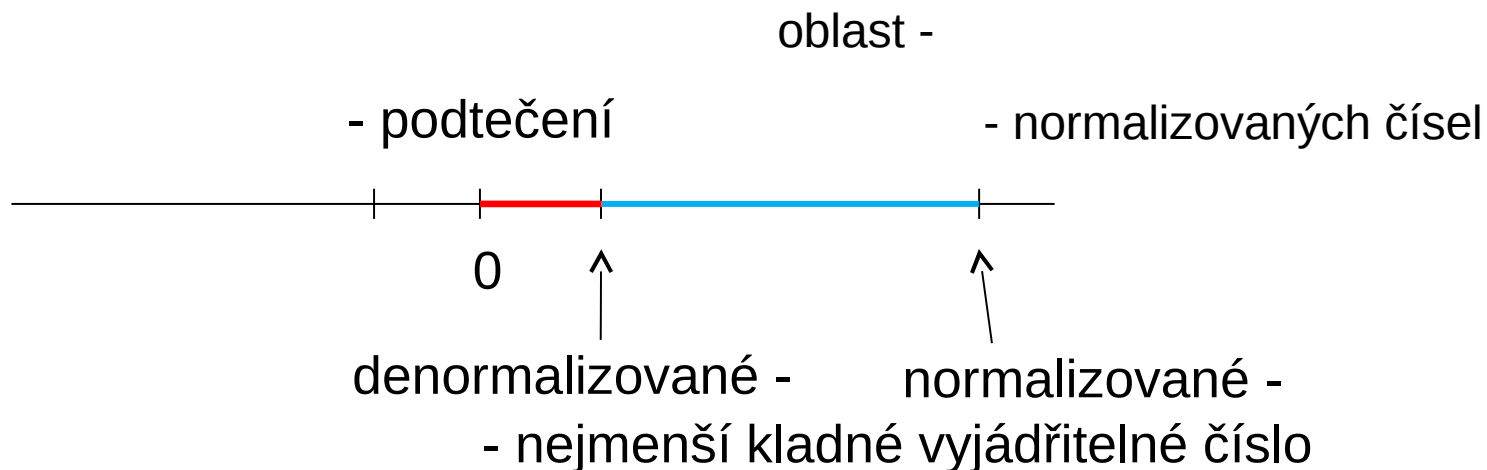
$$X = -1^s 2^{A(E)-127} m \quad \text{kde } m \in \langle 1, 2 \rangle$$

$$m = 1 + 2^{-23} M$$



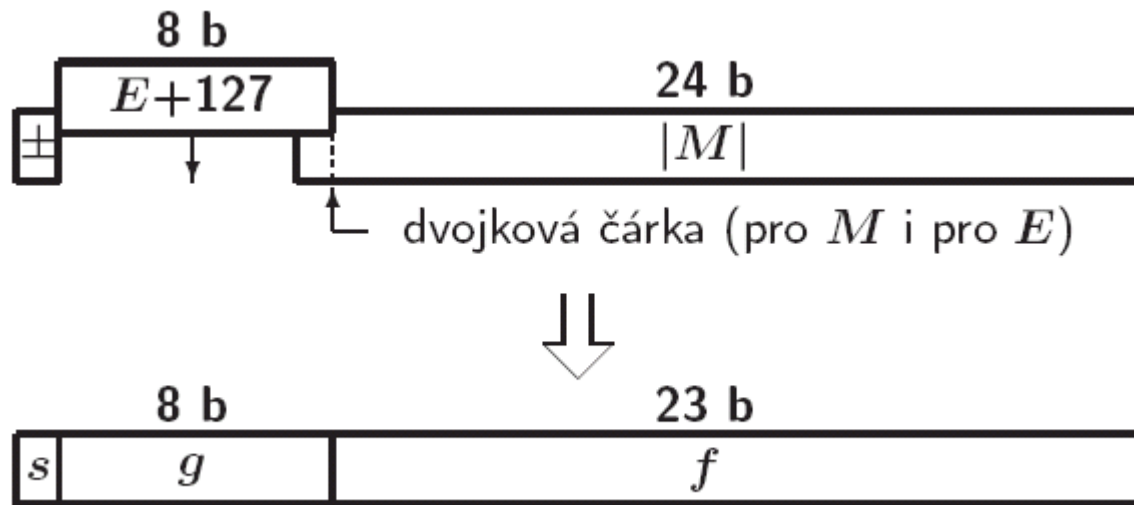
Implicitní (skrytá) počáteční jednička

- Pro každé normalizované číslo je nejvýznamnější bit mantisy jedna a není ho potřeba ukládat (rezervovat pro něj místo)
- Pokud je reprezentace exponentu 0 ($-K$) nebo pokud je číslo „denormalizované“, tak je prostor pro uložení mantisy využitý pro hodnotu včetně počáteční jedničky nebo nuly
- Denormalizovaná čísla umožňují zachovat rozlišení v rozsahu od nejmenšího normalizovaného čísla směrem k nule



ANSI/IEEE Std 754-1985 (2008) – 32b a 64b formát

ANSI/IEEE Std 754-1985 — jednoduchý formát — 32b



ANSI/IEEE Std 754-1985 — dvojnásobný formát — 64b

$g \dots 11b$

$f \dots 52b$

Příklady reprezentace některých důležitých hodnot

Nula

kladná	0 00000000 000000000000000000000000000000	+0.0
záporná	1 00000000 000000000000000000000000000000	-0.0

Nekonečno

kladné	0 11111110 111111111111111111111111111111	+Inf
záporné	* 00000001 000000000000000000000000000000	-Inf

Hraniční hodnoty pro jednoduchý formát

Největší normalizované	0 11111110 111111111111111111111111111111	$(2 - 2^{-23}) 2^{(127)}$ +3.4028 10⁺³⁸
Nejmenší normalizované	* 00000001 000000000000000000000000000000	$\pm 2^{(1-127)}$ ±1.1755 10⁻³⁸
Největší denormalizované	* 00000000 111111111111111111111111111111	$\pm (1 - 2^{-23}) 2^{(1-126)}$
Nejmenší denormalizované	* 00000000 000000000000000000000000000001	$(2 - 2^{-23}) 2^{(127)}$ +3.4028 10⁺³⁸

Speciální hodnoty NaN, +Inf a -Inf

- Pokud není výsledek matematické operace pro daný vstup definovaný ($\log -1$) nebo je výsledek nejednoznačný $0/0$, $+Inf - +Inf$ tak je uložena hodnota NaN (Not-a-Number) – exponent nastavený na samé jedničky, mantisa nenulová
- Výsledkem operací, které pouze přetečou z rozsahu $1/0$ ($=+Inf$), $+Inf + +Inf$ ($= +Inf$) atd., je reprezentovaný hodnotou nekonečno ($+Inf$ nebo $-Inf$) – exponent samé jedničky, mantisa nuly

Shrnutí – čísla a výjimky pro jednoduchou přesnost

s-bit	obraz exponentu	m	M	význam
0	$0 < e < 255$	$1 \leq m < 2$	*	normalizované kladné číslo
1	$0 < e < 255$	$1 \leq m < 2$	*	normalizované záporné číslo
0	0	$m > 0$	$\neq 0$	denormalizované kladné (blízko nuly)
1	0	$m > 0$	$\neq 0$	denormalizované záporné (blízko nuly)
0	0	0	0	kladná nula
1	0	0	0	záporná nula
0	255		=0	kladné nekonečno
1	255		=0	záporné nekonečno
0	255		$\neq 0$	NaN – nečíselná/nevyjádřitelná hodnota
1	255		$\neq 0$	NaN – nečíselná/nevyjádřitelná hodnota

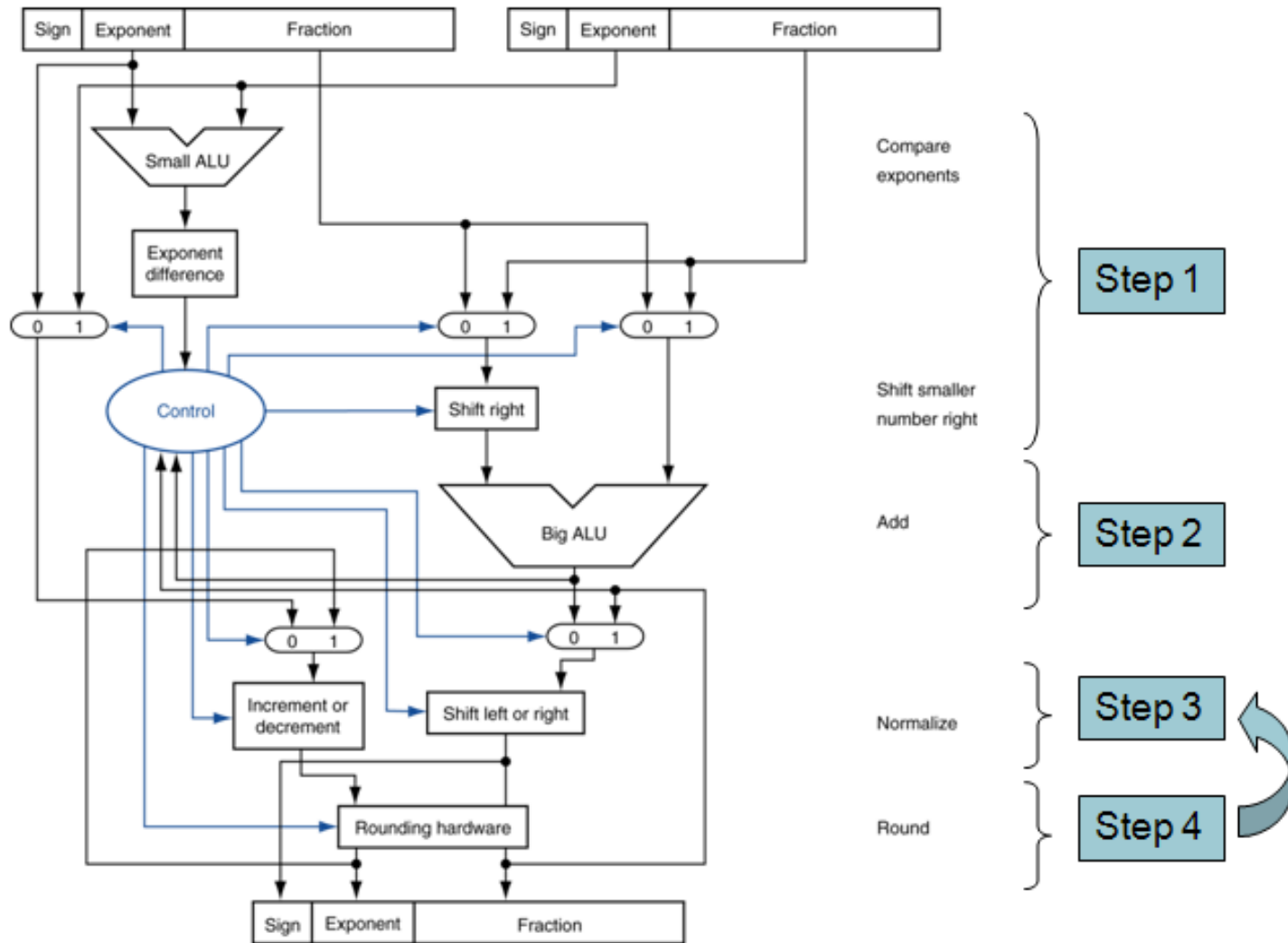
Porovnání dvou čísel ve FP

- Porovnání: je-li $A \geq B \iff A - B \geq 0$.
- Obrazy čísel A a B se odečtou jako čísla v přímém kódu a v pevné řádové čárce.
- To je výhodou zvoleného zobrazení čísel.
- Nebo je ještě jiný způsob?

Algoritmus sčítání v pohyblivé řádové čárce

- $M_a \times 2^{E_a} + M_b \times 2^{E_b}$
- Odečteme exponenty.
- Mantisu čísla s menším exponentem posuneme doprava o počet bitů, který je roven rozdílu exponentů.
- Sečteme mantisy obou čísel.
- Určíme počet nul mezi řádovou čárkou a první platnou číslicí součtu mantis.
- Posuneme součet doleva o tolik míst, kolik nul bylo nalezeno za řádovou čárkou.
- Zmenšíme původní exponent o počet nalezených nul.
- Zaokrouhlíme.

Hardware sčítačky v pohyblivé řádové čárce



Násobení čísel v pohyblivé řádové čárce

- Exponenty sečteme.
 - Mantisy vynásobíme.
 - Normalizujeme.
 - Zaokrouhlíme.
-
- HW FP násobičky je srovnatelně složitý, jako FP sčítačky. Jen má namísto sčítačky násobičku.

Iterační dělička - Goldschmidt

$$Q = \frac{N}{D} = \frac{m_N 2^{e_N}}{m_D 2^{e_D}} = \frac{m_N}{m_D} 2^{e_N - e_D}$$

Pokud jsou čísla v normalizovaném tvaru, pak platí:

$$m_N = 1.???????...? \quad \text{a} \quad m_D = 1.???????...?$$

tzn. $1 \leq m_N, m_D < 2$ pokud uvažujeme celou mantisu, nebo
 $0,5 \leq m_N, m_D < 1$ pokud bereme pouze zlomkovou část.

Uvažujme pouze zlomkovou část (za desetinnou čárkou).

Zřejmě můžeme m_D přepsat do tvaru: $m_D = 1 - x$, kde $0 < x \leq 0,5$

Jakou hodnotu má x ? Spočítejme ji: $x = 1 - m_D$

Zvolme $F_0 = 1 + x$. Všimněme si jakou vlastnost bude mít $m_D * F_0$

Iterační dělička - Goldschmidt

Pokud $F_0=1+x$. Potom $m_D * F_0 = (1-x)*(1+x) = 1-x^2$

$$Q = \frac{N}{D} = \frac{m_N 2^{e_N}}{m_D 2^{e_D}} = \frac{m_N}{m_D} 2^{e_N - e_D} = \frac{m_N F_0}{m_D F_0} 2^{e_N - e_D}$$

Pokud budeme volit F_i tak, aby jmenovatel konvergoval k 1, bude čitatel konvergovat k podílu mantis.

Zvolme $F_1=1+x^2$. Potom $m_D * F_0 * F_1 = (1-x^2)*(1+x^2) = 1-x^4$

$$\frac{m_N}{m_D} = \frac{m_N F_0 F_1 F_2 F_3 \dots}{m_D F_0 F_1 F_2 F_3 \dots} = \frac{m_N F_0 F_1 F_2 F_3 \dots}{\approx 1} \approx m_N (1+x)(1+x^2) \dots (1+x^{2^i})$$

Iterační dělička – Goldschmidt – vylepšená verze

- S rostoucím x ($0 < x \leq 0,5$) se konvergence zhoršuje. Pokud $x = 0,5$ je nejhorší. Jinými slovy, pro fixní počet iterací se snižuje přesnost výsledku.
- Modifikace Goldschmidtova algoritmu spočívá v odhadu (nepřesném) převrácené hodnoty K hodnoty m_D z look-up tabulky – podle několika málo prvních bitů (~ 10).
- Místo původního $x=1- m_D$ počítáme s $x=1- Km_D$

$$\frac{m_N}{m_D} \approx m_N K (1+x)(1+x^2) \dots (1+x^{2^i})$$

- Tato dělička se používá v moderních CPU.
- Kontrolní otázka: Můžeme tuto deličku použít i pro INTEGER?

Zjednodušený přehled operací v plovoucí řádové čárce

Sčítání: $A \cdot z^a, B \cdot z^b, b < a$ sjednocení exponentů

$B \cdot z^b = (B \cdot z^{b-a}) \cdot z^{b-(b-a)}$ posunem mantisy

$A \cdot z^a + B \cdot z^b = [A + (B \cdot z^{b-a})] \cdot z^a$ sečtení + normalizace

Odčítání: sjednocení exponentů, odečtení a normalizace

Násobení: $A \cdot z^a \cdot B \cdot z^b = A \cdot B \cdot z^{a+b}$

$A \cdot B$ - normalizace je-li třeba

$A \cdot B \cdot z^{a+b} = A \cdot B \cdot z \cdot z^{a+b-1}$ posunem doleva

Dělení $A \cdot z^a / B \cdot z^b = A/B \cdot z^{a-b}$

A/B - případná normalizace

$A/B \cdot z^{a-b} = A/B \cdot z \cdot z^{a-b+1}$ - posunem doprava

Najdete všechny chyby v programu?

Chceme napsat program
pro zjištění součtu:

$$\sum_{i=1}^N \frac{1}{i^2}$$

```
#include <stdio.h>
int main()
{
    int i, sum=0;
    for(i=1; i<= 10^10; i++)
        sum += 1/i*i;
    printf("Soucet je: %d", sum);
    return 0;
}
```


Najdete všechny chyby v programu?

- Který způsob je nejvýhodnější?

$$\sum_{i=1}^N \frac{1}{i^2} = \sum_{i=N}^1 \frac{1}{i^2} = \sum_{i=1}^N \frac{1}{(N-i+1)^2}$$

$$\sum_{i=1}^{10^{10}} \frac{1}{i^2} \approx 1.6449340578301865,$$

$$\sum_{i=10^{10}}^1 \frac{1}{i^2} \approx 1.6449340667482264$$

} typ double pro oba případy.. Proč se liší?

Překvapení na závěr ???

```
#include <stdio.h>
int main()
{
    float x;
    x = 116777215.0;    printf("%.31f\n", x);
    x = 116777216.0;    printf("%.31f\n", x);
    x = 116777217.0;    printf("%.31f\n", x);
    x = 116777218.0;    printf("%.31f\n", x);
    x = 116777219.0;    printf("%.31f\n", x);
    x = 116777220.0;    printf("%.31f\n", x);
    x = 116777221.0;    printf("%.31f\n", x);
    return 0;
}
```